

Zdravotní fakta koronavirové krize

Prof. MUDr. Vojtěch Thon, Ph.D.
vojtech.thon@recetox.muni.cz

RECETOX

31. 10. 2024

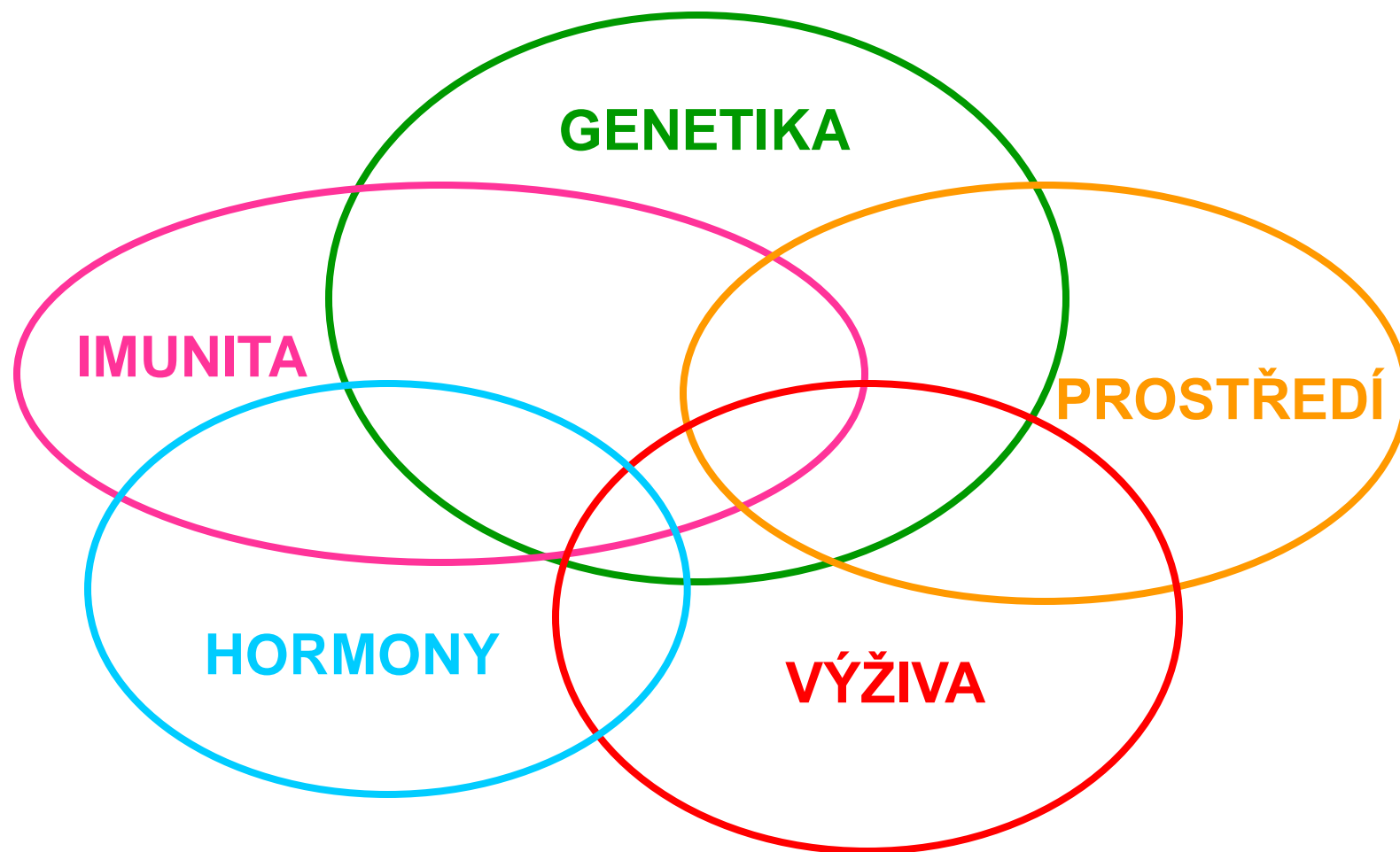
Orchestrace
a
klíč k imunitní regulaci

Delfi

ΓΝΩΘΙ ΣΕΑΥΤΟΝ



Kombinace faktorů podmiňujících vznik autoimunitních chorob



Imunitní regulace a dysregulace

IMUNITNÍ SYSTÉM

**Dokáže vytvořit obranu
i proti tomu, s čím se nikdy nesešel.**

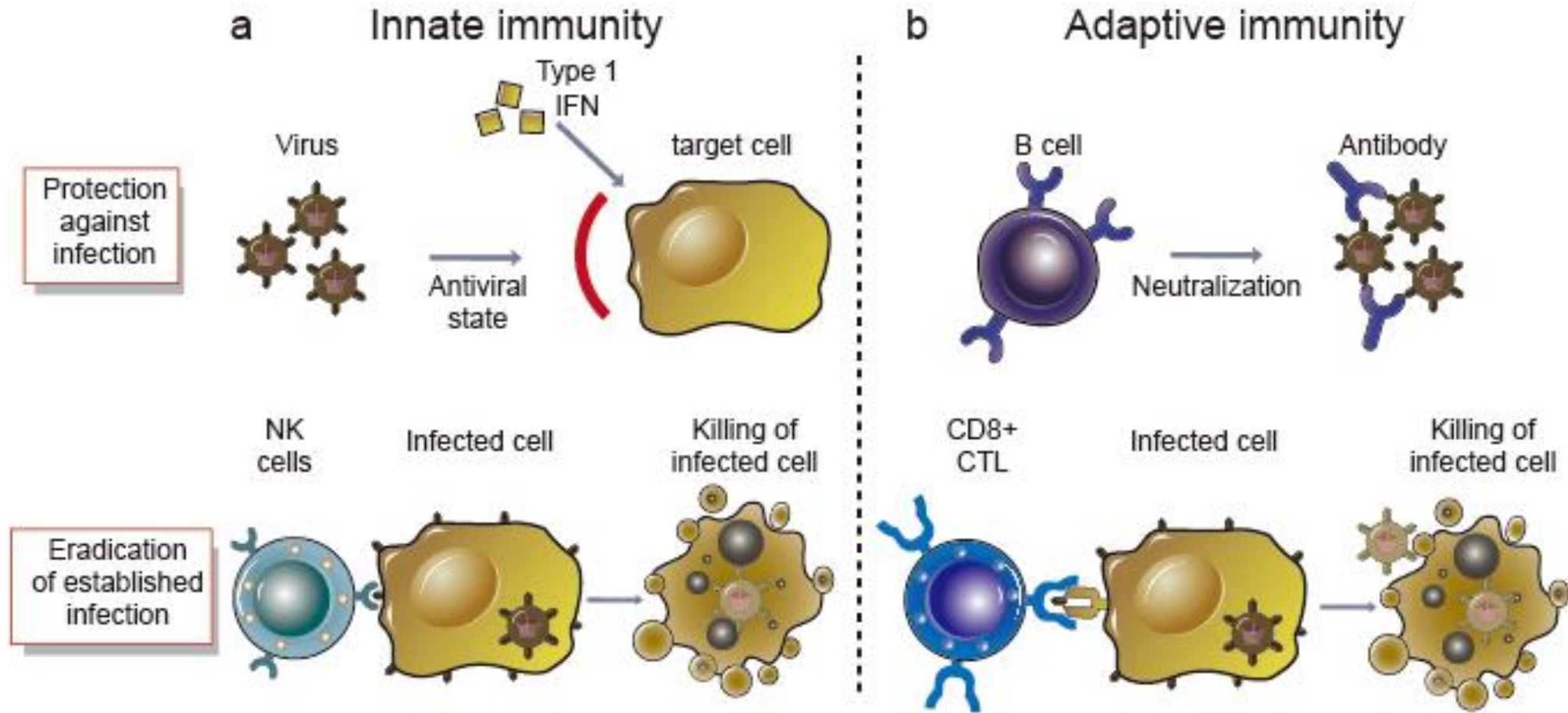
IMUNITNÍ SYSTÉM

**Reaguje na nebezpečí.
(„danger“)**

Imunitní odpověď

- a) Vrozená
- b) Získaná (adaptivní)

Protivirová imunitní odpověď

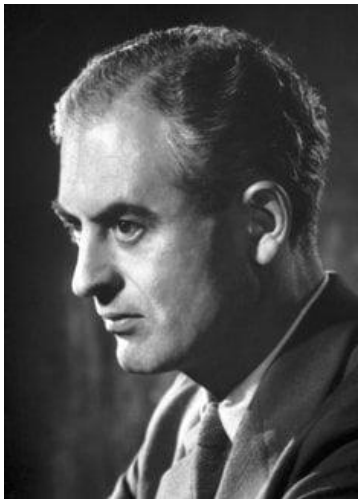


Imunologie - Vývoj poznání

Vývoj poznání

Nobelova cena v r. 1960

Získaná imunitní tolerance



Sir Peter Brian Medawar

Sir Frank Macfarlane Burnet



Regulace

Zakázané klony

Sir Frank Macfarlane Burnet
1957

Austrálie



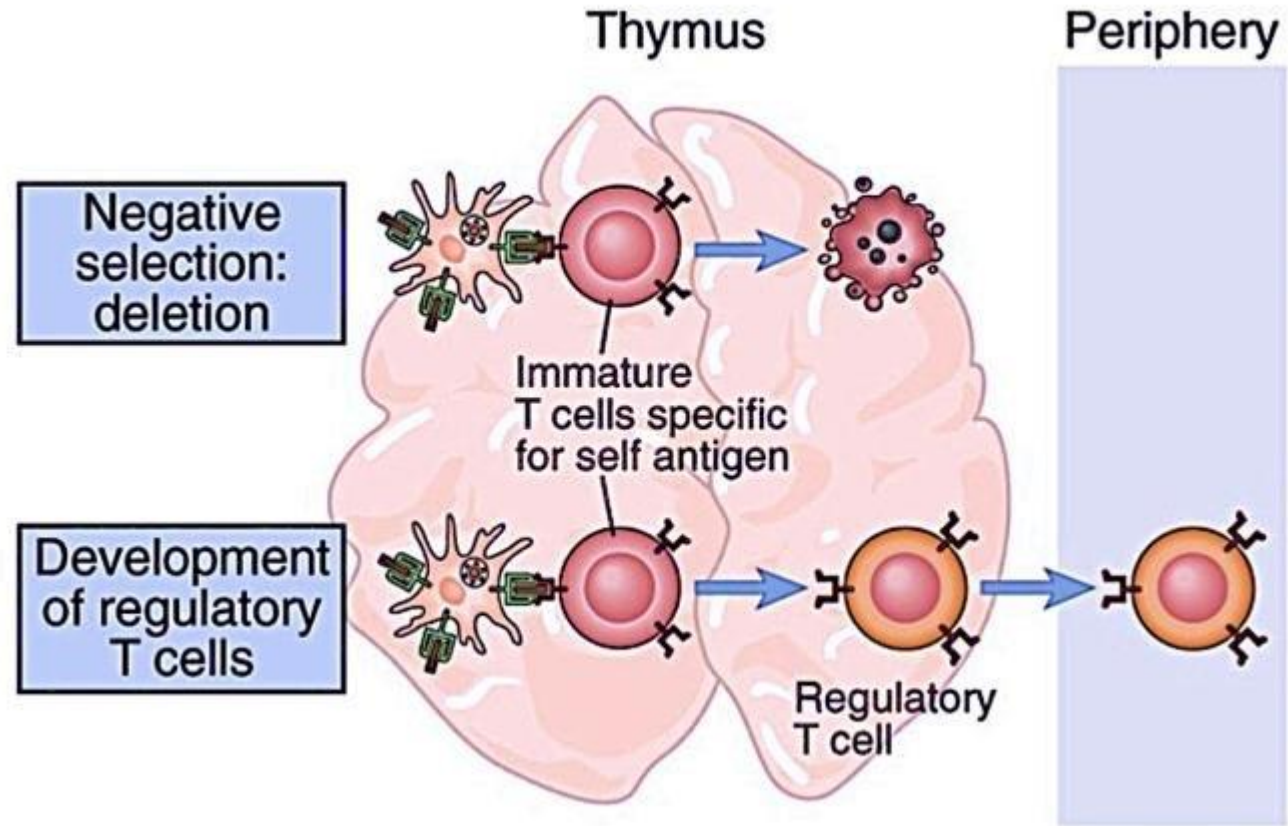
Frank MacFarlane Burnet, c.1960
[State Library of Victoria, 49345074](#)

Centrální tolerance

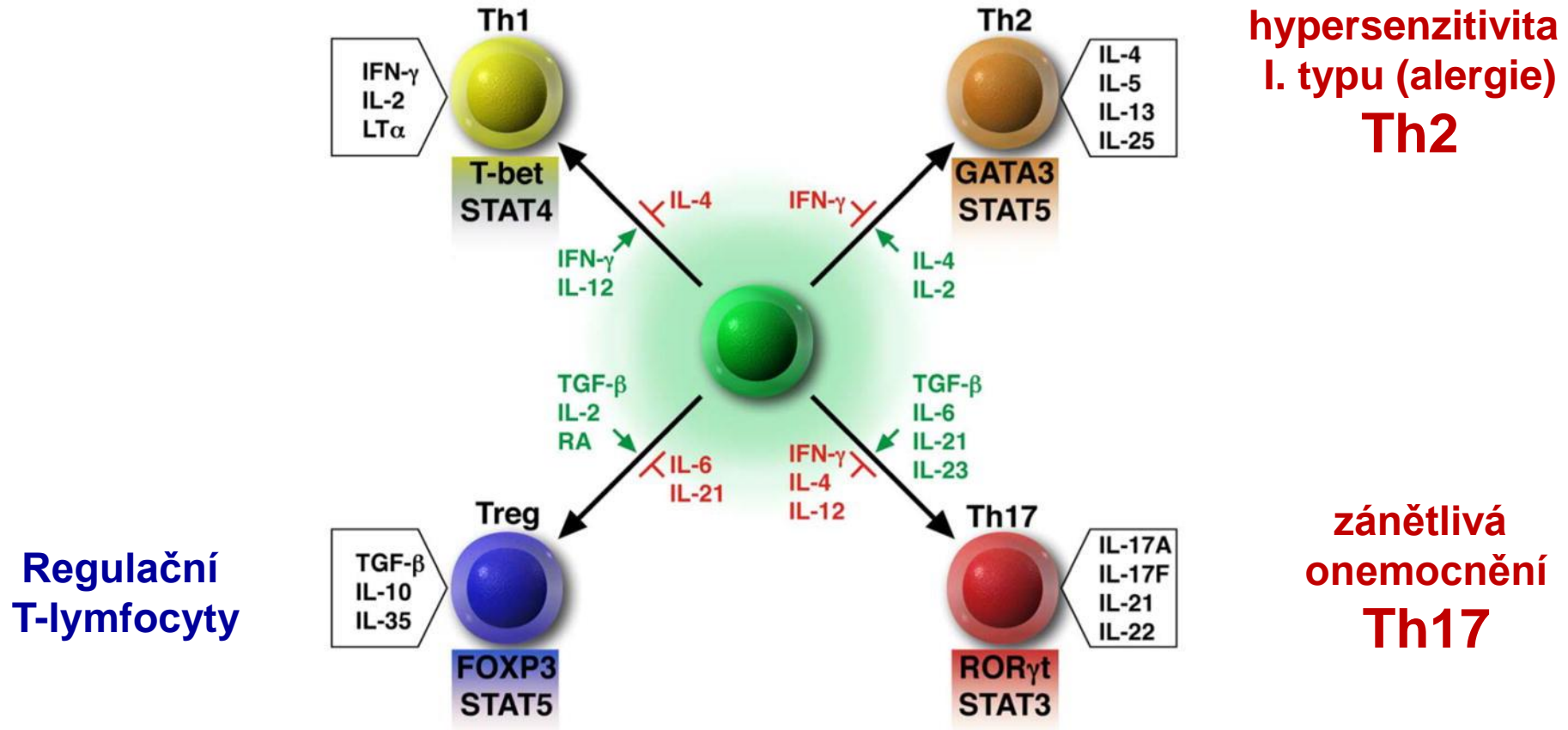
Centrální tolerance

Negativní selekce

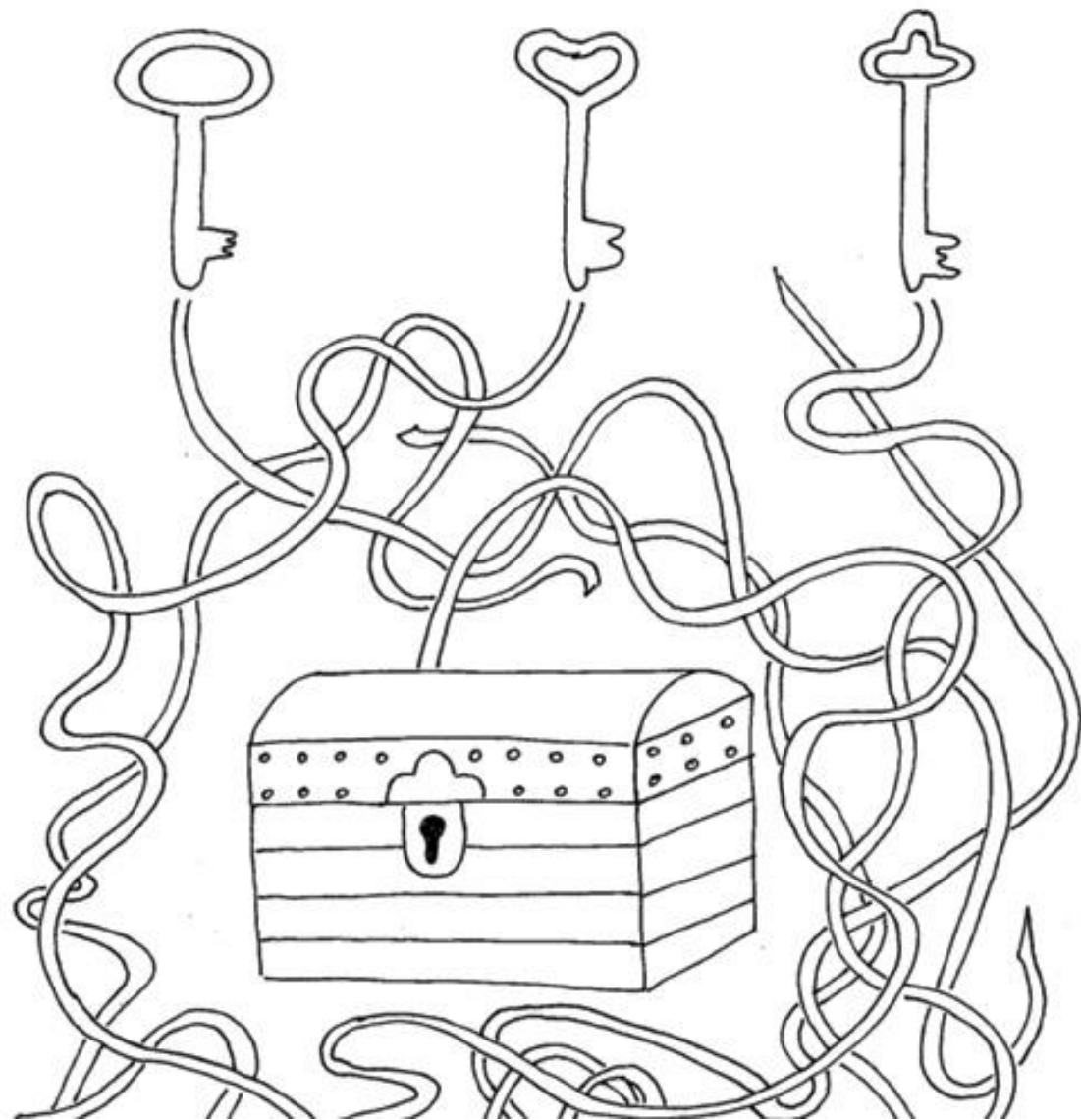
Centrální tolerance



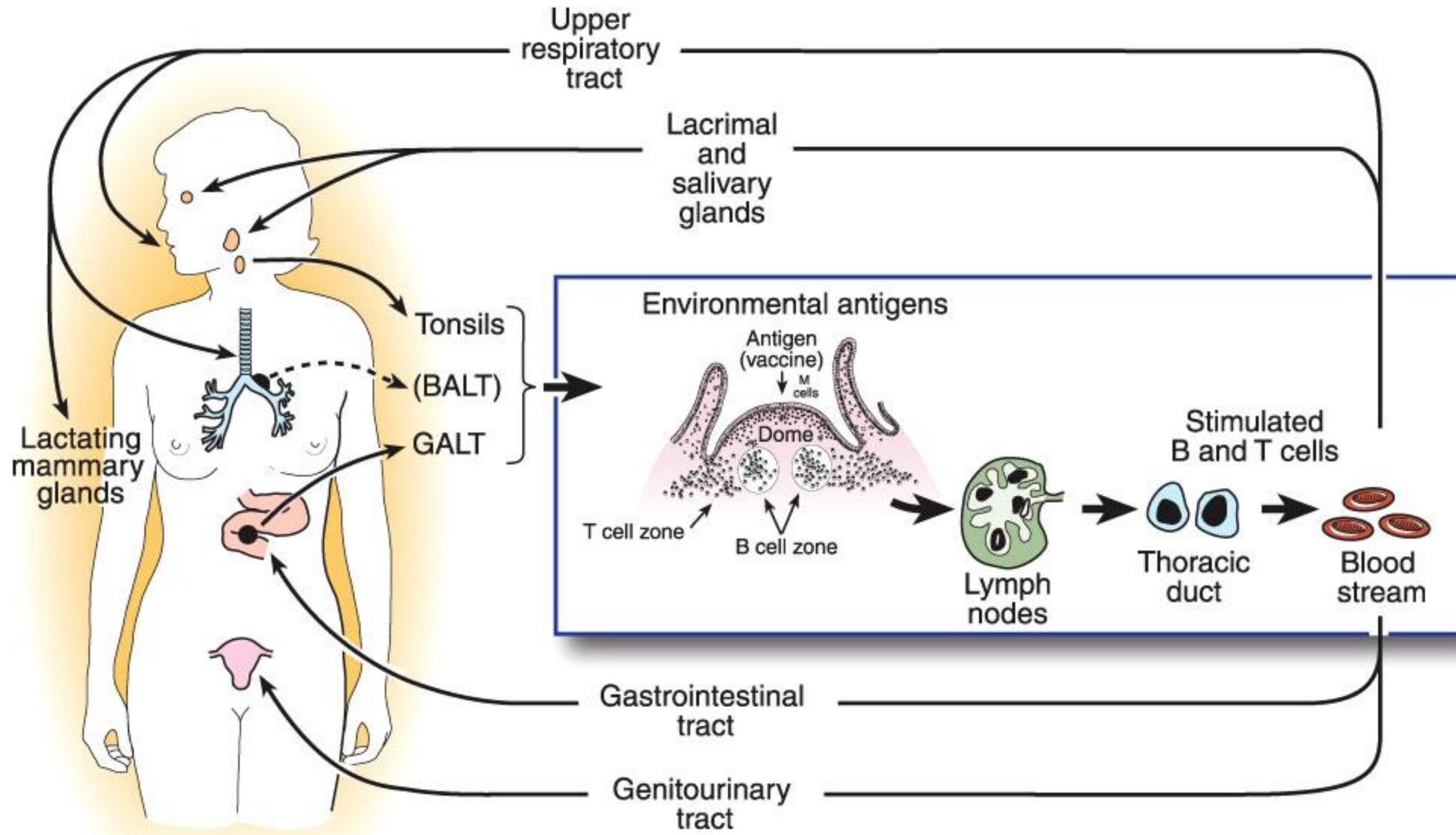
Funkční typy T-lymfocytů



Regulace - Klíč k pokladům imunity



Slizniční imunitní systém (MALT)



Imunitní systém

- Asociovaný se sliznicemi – tj. slizniční imunita (MALT)
- Periferní lymfatické orgány – tj. systémová imunita

Klíč imunitní odpovědi



Klíč imunitní odpovědi

• Slizniční imunita – Regulace

• Systémová imunita – Sterilita



Klíč imunitní odpovědi

• Slizniční imunita – Regulace

• Systémová imunita – Sterilita



Sliznice nejsou sterilní.

Mikrobiom - Metabolom - Proteom

Sliznice

Protilátky

- Sekreční IgA

Buněčná imunita

Fáze imunitní odpovědi

- Induktivní
- Aktivační
- Efektorová

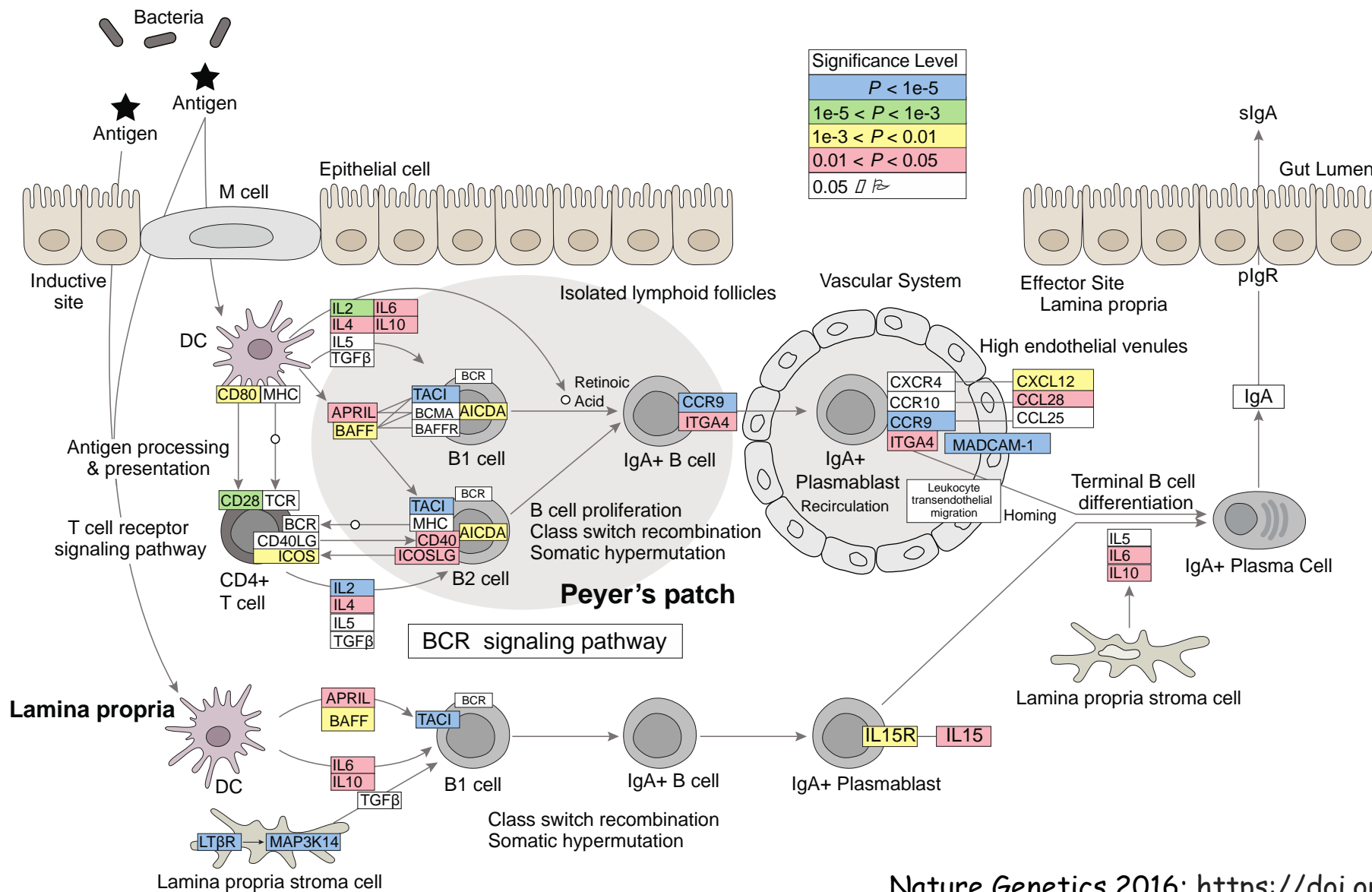
Dráhy produkce IgA

Fáze

Induktivní

Aktivační

Efektorová



Efektorová

IgA deficit

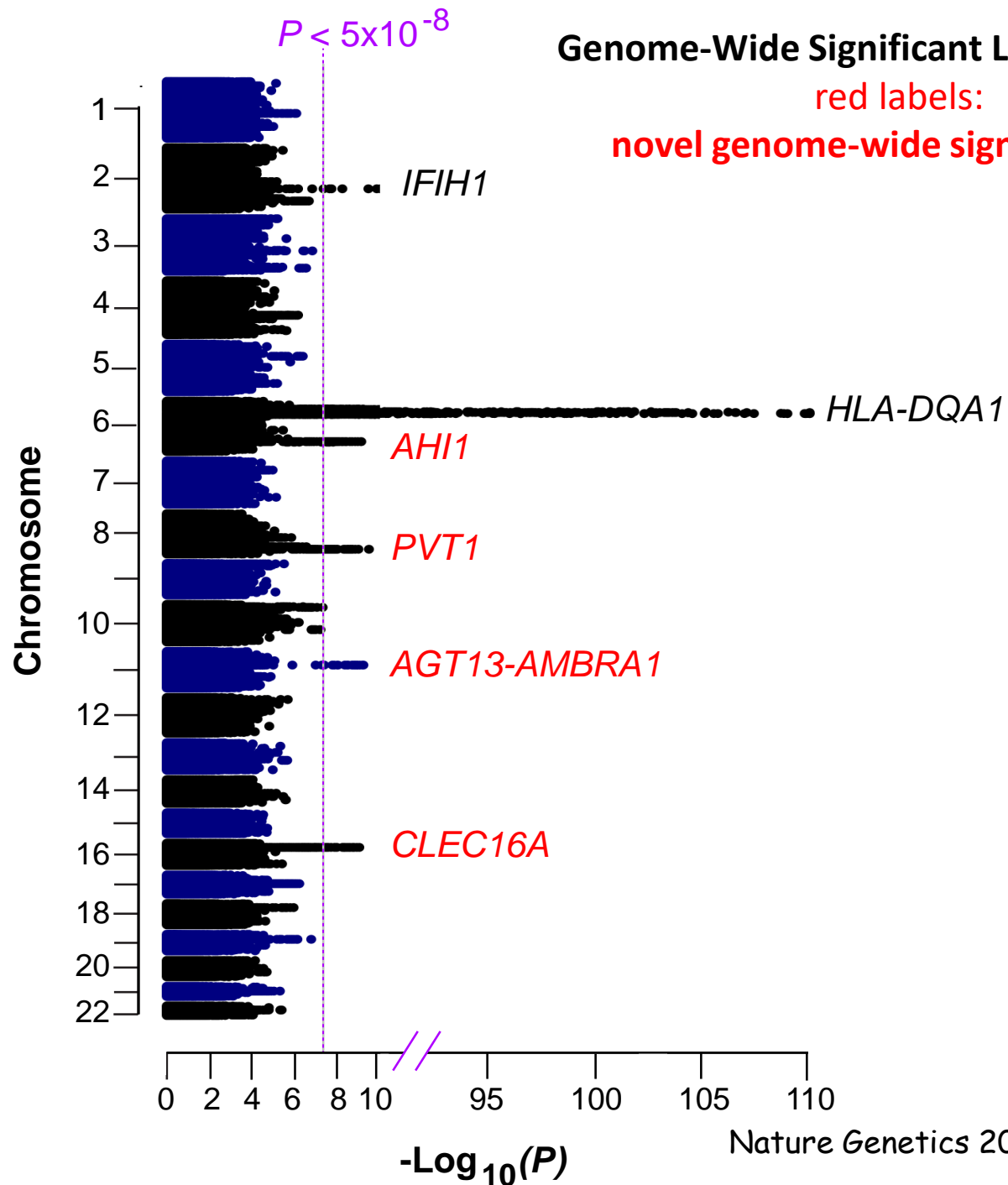
[Nature Genetics, 2016](#)

Common variants at *PVT1*, *ATG13–AMBRA1*, *AHI1* and *CLEC16A* are associated with selective IgA deficiency

**GWAS meta-analysis of
1,635 IgAD patients and
4,852 controls**

Genome-Wide Significant Loci in the IgAD

red labels:
novel genome-wide significant loci



IgA deficit

- We identified these four new susceptibility loci for IgAD – *PVT1*, *AHI1*, *AMBRA1–ATG13* and *CLEC16A*.
- It seems also from this site that **the disorder in IgAD is connected to autoimmunity.**

Common variants at *PVT1*, *ATG13–AMBRA1*, *AHI1* and *CLEC16A* are associated with selective IgA deficiency. *Nat Genet* **48**, 1425–1429 (2016).

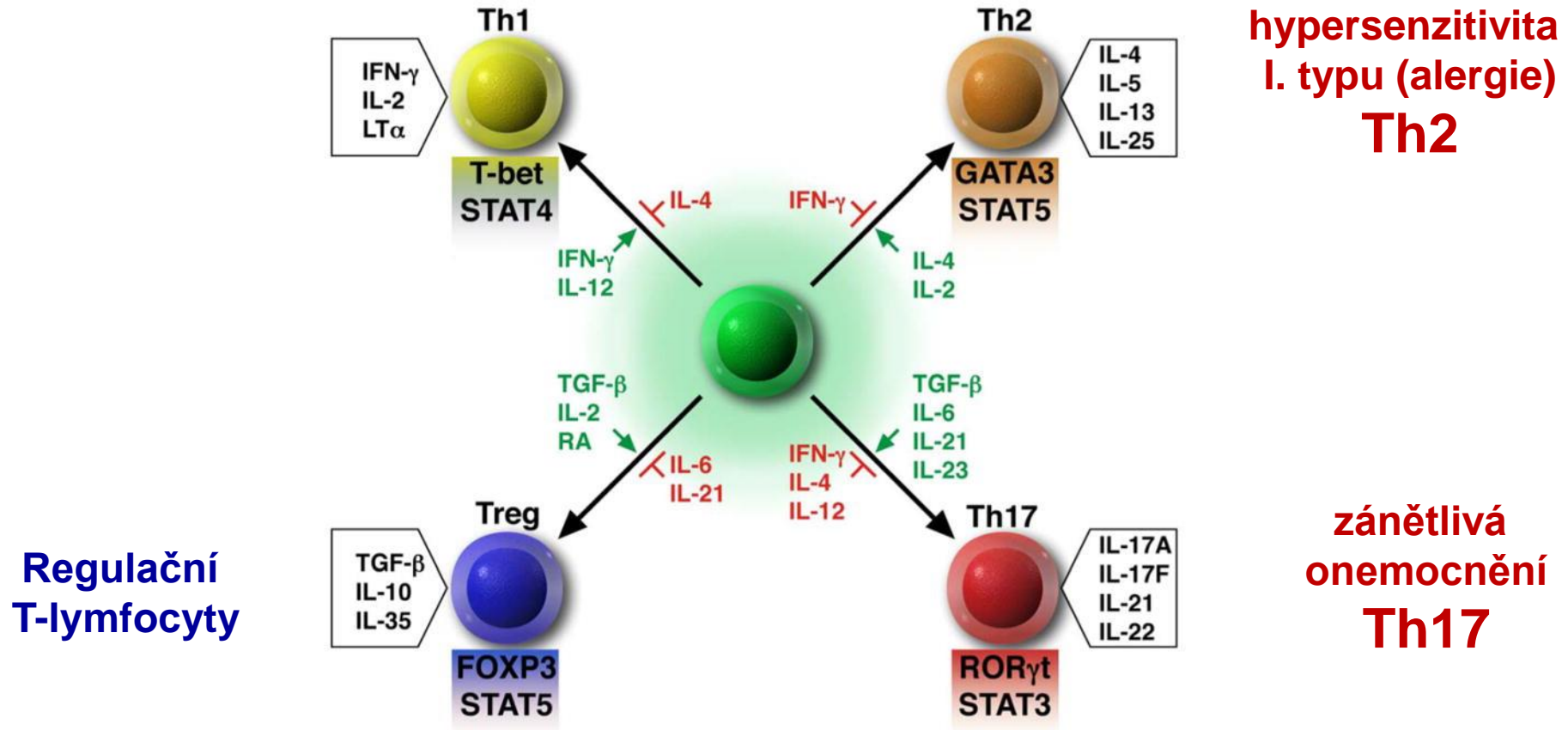
<https://doi.org/10.1038/ng.3675>

Autoimunita

Záněť

Regulace

Funkční typy T-lymfocytů



Slizniční imunita

Systemová imunita

Správné klíče

Er hat uns al - len wohl - ge - tan

Ob.

12 Takte

The image shows a musical score for two instruments: Oboe (Ob.) and Bassoon. The Oboe part is written in the treble clef, and the Bassoon part is in the bass clef. Both are in the key of D major (one sharp) and common time (C). The Oboe part consists of a series of eighth-note chords and single notes, with some slurs. The Bassoon part is mostly a sustained low note with some movement at the end. The lyrics 'Er hat uns al - len wohl - ge - tan' are written above the Oboe staff. The number '12 Takte' is written at the end of the Bassoon staff.

J. S. Bach, Matthäuspassion BWV 244, Incipit Nr. 57 Er hat uns allen wohlgetan

Slizniční imunita (MALT)

Orchestrace a regulace imunitní odpovědi:

Propojení GALT - BALT
a usídlení lymfocytů v cílové tkáni
(„homing“).

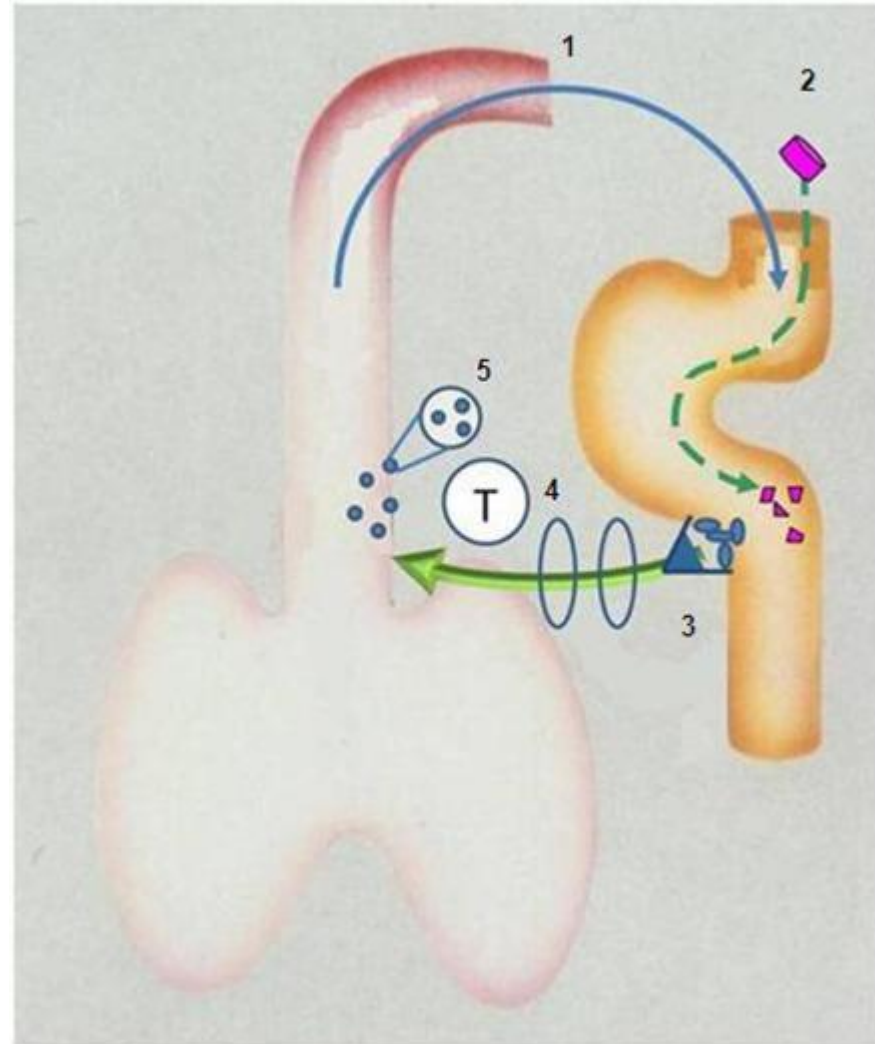
Austrálie:

Slizniční regulace a správná interpretace

- Prof. Robert Clancy
- Osa střevo (GALT) – bronchy (BALT)
- Regulační buněčné mechanismy, BALT a slizniční vakcinace



Slizniční imunitní systém: úloha T-lymfocytů



Clancy RL, Dunkley M.
Front Immunol. 2011 Mar 15;2:7.
doi: 10.3389/fimmu.2011.00007.

Slizniční imunita - translace do klinické lékařské praxe

Neinvazivní slizniční vakcinace
usmrcenými bakteriemi.

Slizniční imunita - translace do klinické
lékařské praxe:

Slizniční vakcinace imunobiotikem

- vhodné provést letos.

Neinvazivní specifická perorální antigenní stimulace GALT imunobiotikem vede buněčnou aktivací v Peyeroých placích k antibakteriální a také k nespecifické antivirové efektorové imunitní odpovědi v BALT.

Neinvazivní specifická perorální antigenní stimulace GALT imunobiotikem vede buněčnou aktivací v Peyeroých placích k antibakteriální a také k nespecifické antivirové efektorové imunitní odpovědi v BALT.

Významné také v aktivní prevenci covid-19 právě nyní na podzim.

NOVÁ FAKTA O COVIDU

Selhání také Západu

27. 1. 2020

From: Peter Daszak <daszak@ecohealthalliance.org>

Sent: Monday, January 27, 2020 1:36 PM

To: Morens, David (NIH/NIAID) [E] [REDACTED] (b) (6)

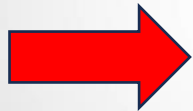
Cc: Stemmy, Erik (NIH/NIAID) [E] [REDACTED] (b) (6); Alison Andre <andre@ecohealthalliance.org>

Subject: Wuhan novel coronavirus - NIAID's role in bat-origin CoVs

Importance: High

NIH's National Institute of Allergy and Infectious Diseases (NIAID)

Hi David – Happy to have a phone call re. the Wuhan CoV, but just wanted to mentioned a few things for your information and hopefully to pass on to Tony Fauci for when he's being interviewed re. the new CoV:



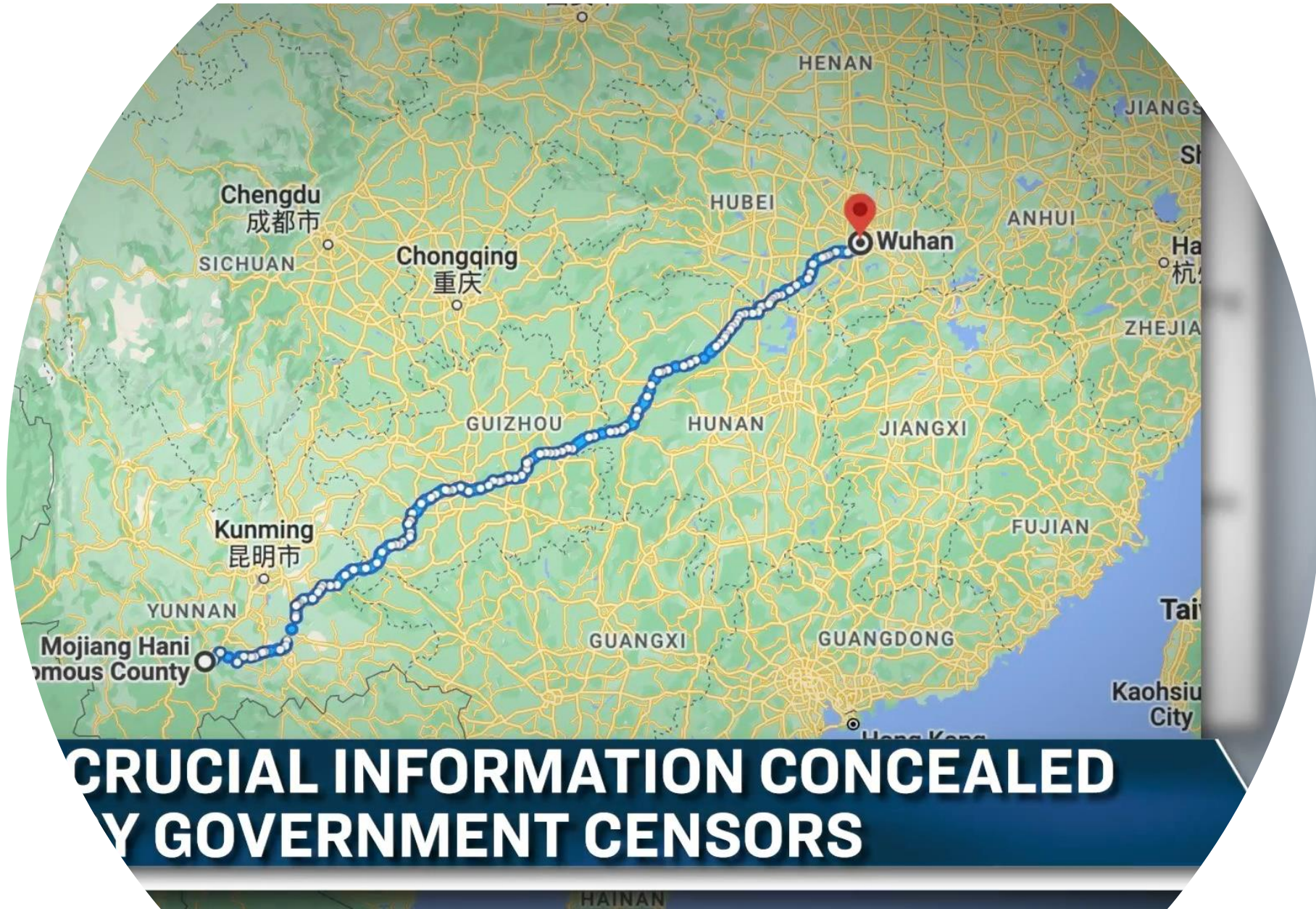
NIAID has been funding coronavirus work in China for the past 5 years through an R01 to me (1R01AI110964: "Understanding the Risk of Bat Coronavirus Emergence"). That's now been renewed, with a specific focus that we identify cohorts of people highly exposed to bats in China, and work out if they're getting sick from CoVs. Erik Stemmy is the Program Officer (cc'd here). Collaborators include Wuhan Institute of Virology (currently working on the nCoV), and Ralph Baric. The results of our work to date include:

DASZAK SENT WARNING EMAIL TO FAUCI'S OFFICE

- Sampled 10,074 bats and ~2,000 other mammals at 47 sites across S. China
- Discovered 172 novel β -CoVs (52 novel SARSr-CoVs), >350 novel α -CoVs
 - Discovered closest relative to Wuhan nCoV (92% homology)
- Discovered Swine Acute Diarrheal Syndrome Virus (SADS-CoV) killing >25,000 pigs in Guangdong Province (Published in *Nature*)
- Found SARS-related CoVs that can bind to human cells (Published in *Nature*), and that cause SARS-like disease in humanized mouse models.
- Found that clinical signs of bat SARSr-CoVs in mice were not prevented with a vaccine candidate against SARS-CoV, and were not treatable with most monoclonal therapies being developed
- Found serological evidence that 3% of people living at the wildlife-human interface in rural China are being exposed to these bat SARS-related coronaviruses

**CRUCIAL INFORMATION CONCEALED
BY GOVERNMENT CENSORS**

Jižní Čína – endemický zdroj viry infikovaných netopýrů



NOVÁ FAKTA O COVIDU

Humanizovaná myš
poskytnutá Číně z USA

Ralph Baric

NEBEZPEČNÉ / NEAKCEPTOVATELNÉ

Gain-of-Function (GoF)

experimenty


humanizované myši

collected 10,074 bats and ~2,000 other mammals at 47 sites across S. China


discovered 172 novel β -CoVs (52 novel SARSr-CoVs), >350 novel α -CoVs

discovered closest relative to Wuhan nCoV (92% homology)

discovered Swine Acute Diarrheal Syndrome Virus (SADS-CoV) killing >25,000 pigs in Guangdong Province (Published in *Nature*)



- Found SARS-related CoVs that can bind to human cells (Published in *Nature*), and that cause SARS-like disease in humanized mouse models.



- Found that clinical signs of bat SARSr-CoVs in mice were not prevented with a vaccine candidate against SARS-CoV, and were not treatable with most monoclonal therapies being developed

Found serological evidence that 3% of people living at the wildlife-human interface in rural China are being exposed to these bat SARS-related coronaviruses

CRUCIAL INFORMATION CONCEALED BY GOVERNMENT CENSORS

COVID-19

Fyziologie a patofyziologie

Rozvrat a dysregulace

Covid-19

Buněčný stres
(ROS)

Endotelová dysfunkce

uvolnění von Willebrandova faktoru
a spuštění kaskády krevního srážení (f. VIII)

(Angiotenzin)

AT-II

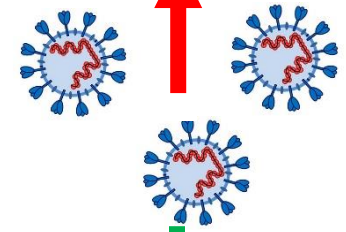
Pro-oxidační

AT-1,7

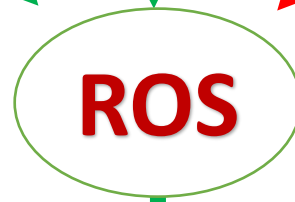
Anti-oxidační



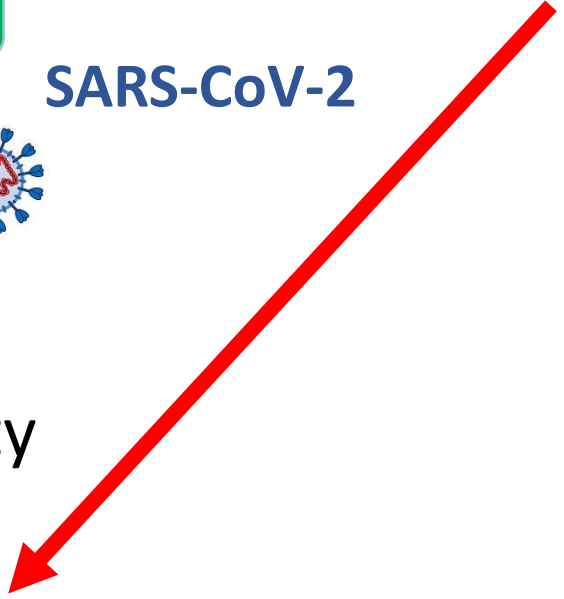
SARS-CoV-2



Leukocyty



hyperkoagulopatie, hypoxemie



Covid-19

Buněčný stres
(ROS)

Endotelová dysfunkce

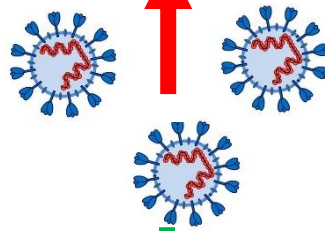
Mitochondriální dysfunkce

AT-II
Pro-oxidační

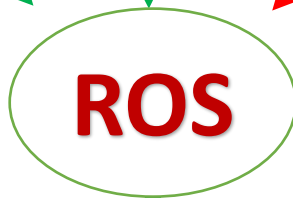
AT-1,7
Anti-oxidační



SARS-CoV-2



Leukocyty



hyperkoagulopatie, hypoxemie

Měsíc a
hvězdy



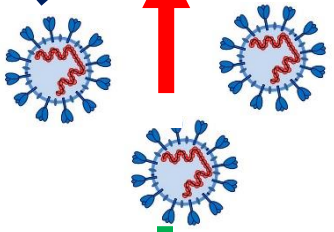
Alfons
Mucha,
1902

AT-II
Pro-oxidační

AT-1,7
Anti-oxidační



SARS-CoV-2



Leukocyty

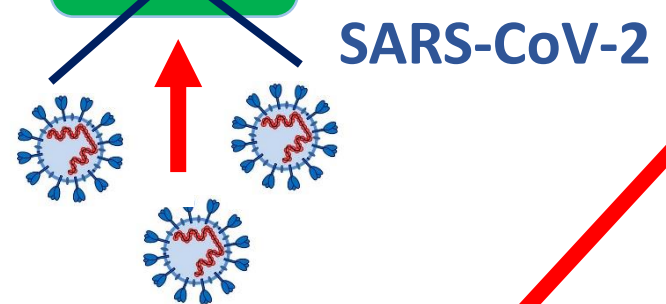


hyperkoagulopatie, hypoxemie

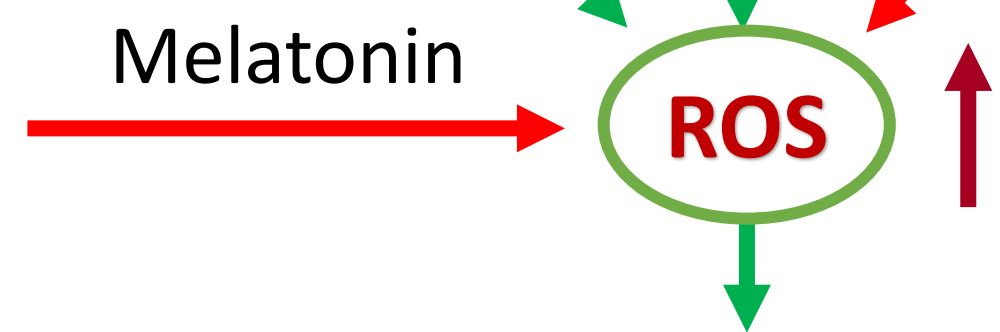
Měsíc a hvězdy



Alfons Mucha, 1902



Leukocyty



hyperkoagulopatie, hypoxemie

Měsíc a hvězdy

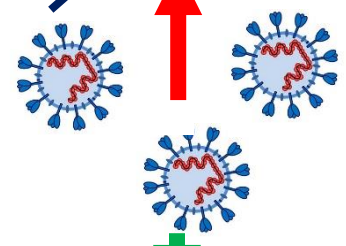
Alfons Mucha, 1902





ACE2

SARS-CoV-2



Leukocyty

ROS

Melatonin

Melatonin

Slunce, NIR

hyperkoagulopatie, hypoxemie

Měsíc a hvězdy



Alfons Mucha, 1902



Alfons Mucha, 1918

Také významné u nádorů,
kteřé jsou metabolickým
onemocněním.

Také významné u nádorů,

které jsou metabolickým
onemocněním!

Mitochondriální dysfunkce.

Také významné u nádorů,
které jsou metabolickým
onemocněním!

Mitochondriální dysfunkce.
Metabolická léčba.

NOVÁ FAKTA O COVIDU

Prof. Dr. Arne Burkhardt

Významný německý patolog



PROF. DR. ARNE BURKHARDT
FACHARZT FÜR PATHOLOGIE, REUTLINGEN

1944 - 2023

Play (k)



Sep 21, 2021

A press conference from the pathological institute in Reutlingen, Germany.
The pathologists Prof. Dr. Arne Burkhardt and Prof. Dr. Walter presented the results of the autopsies of eight people who died after COVID-19 vaccination.



NOVÁ FAKTA O COVIDU

genetické vakcíny

Autoimunita

NOVÁ FAKTA O COVIDU

genetické vakcíny

Záněť

NOVÁ FAKTA O COVIDU

genetické vakcíny

Tvorba amyloidu

NOVÁ FAKTA O COVIDU

genetické vakcíny

Disekce cév

Prof. Dr. Arne Burkhardt - Kohorta prvních vyšetřených lidí

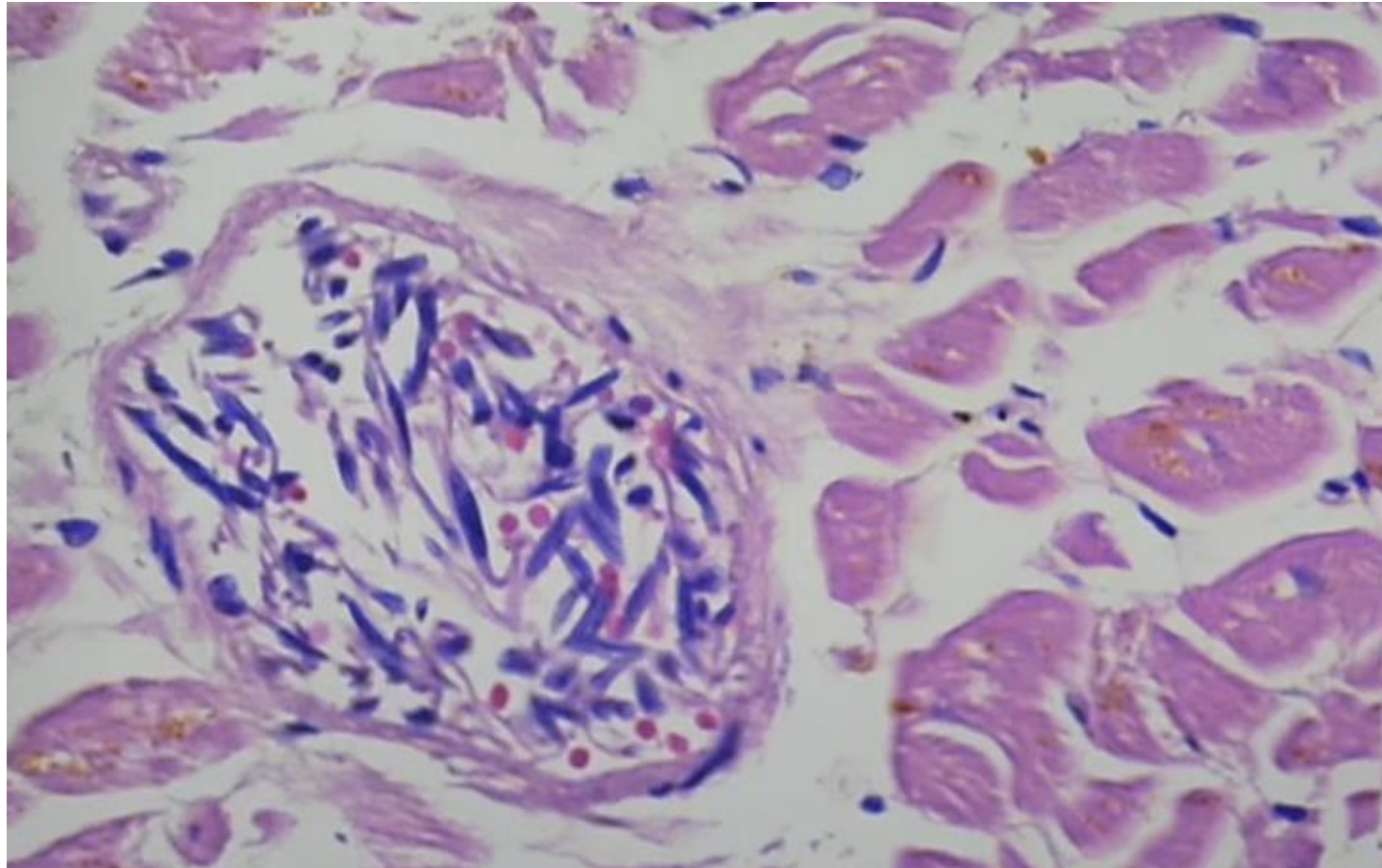
Závažné komplikace po genetických vakcínách

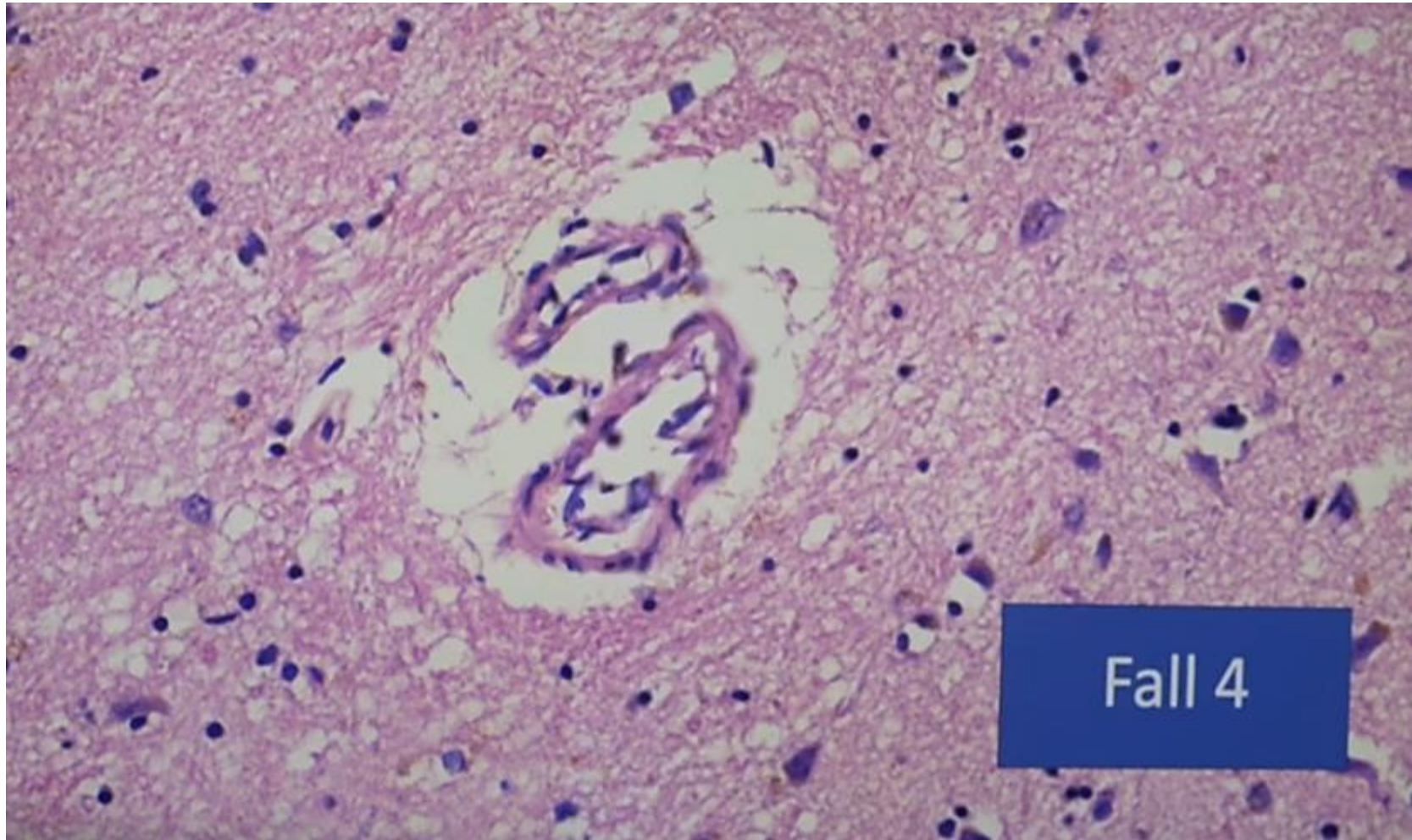
1. Woman 82 y, vaccination: Moderna (1st and 2nd dose) death: 37 d post injection (p.i.)
2. Man 72 y, vaccination: Comirnaty (1st dose) death: 31 d p.i.
3. Woman 95 y, vaccination: Moderna (1st and 2nd dose) death: 68 d p.i.
4. Woman 73 y, vaccination: Comirnaty (1st dose)
5. Man 54 y, vaccination: Janssen (1st dose) death: 65 d p.i.
6. Woman 55 y, vaccination: Pfizer-BioNTech (1st and 2nd dose) death: 11 d p.i.
7. Man 56 y, vaccination: Comirnaty (1st and 2nd dose) death: 8 d p.i.
8. Man 80 y, vaccination: Pfizer-BioNTech (1st and 2nd dose) death: 37 d p.i.
9. Woman 89 y, vaccination: type not known (1st and 2nd dose) death: approx. 6 months p.i.
10. Man 62 y, vaccination: type and dose not known death: 20 d p.i.

Suspected corona vaccine side effects with potential fatal consequences

- Autoimmune phenomena ("self-to-self attack")
- Reduction of immune capacity
- Influence on cancer growth
- Vascular damage "endothelitis", vasculitis, perivasculitis
- Erythrocyte clumping

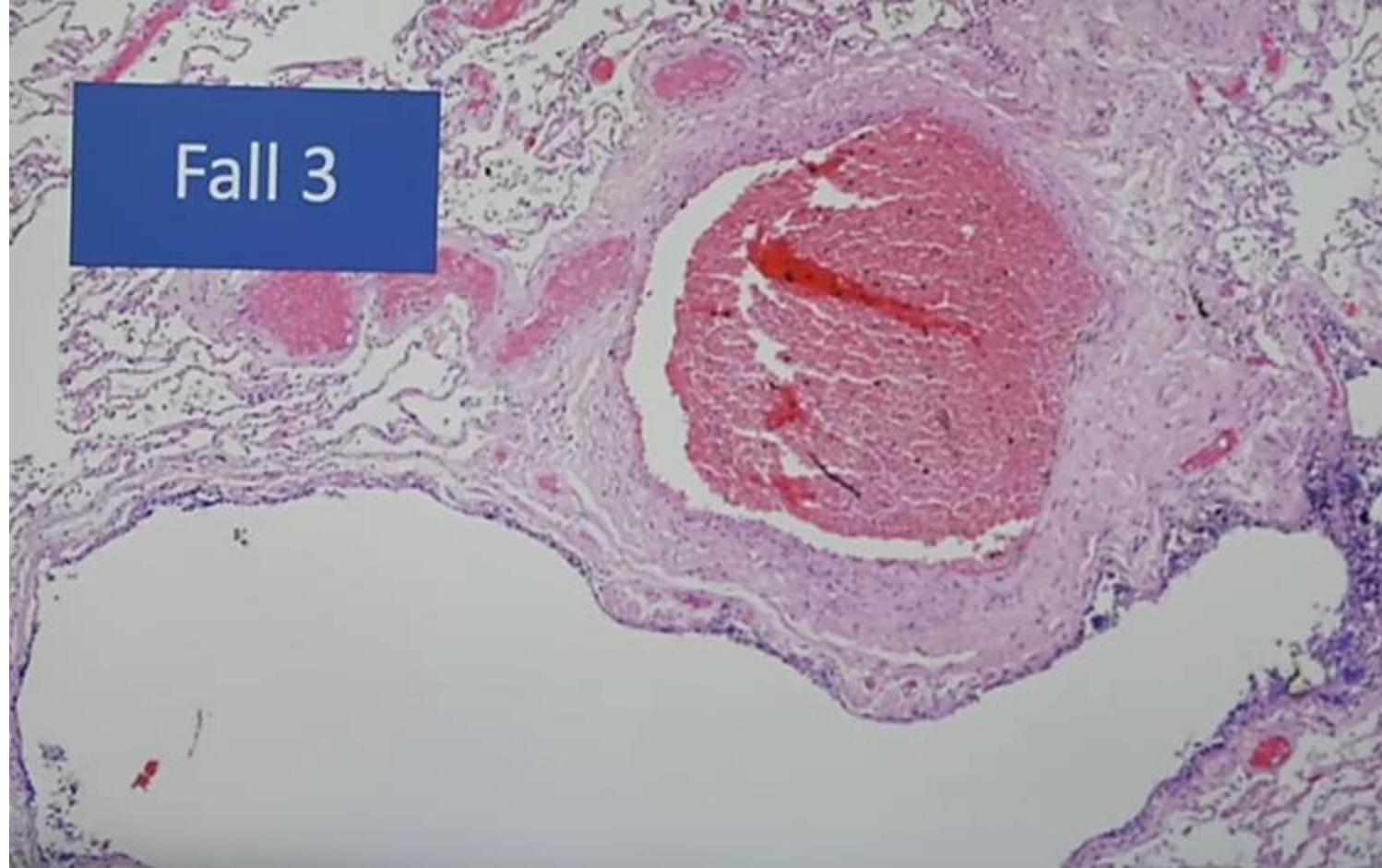
Detachment of endothelial cells
from the vessel wall.

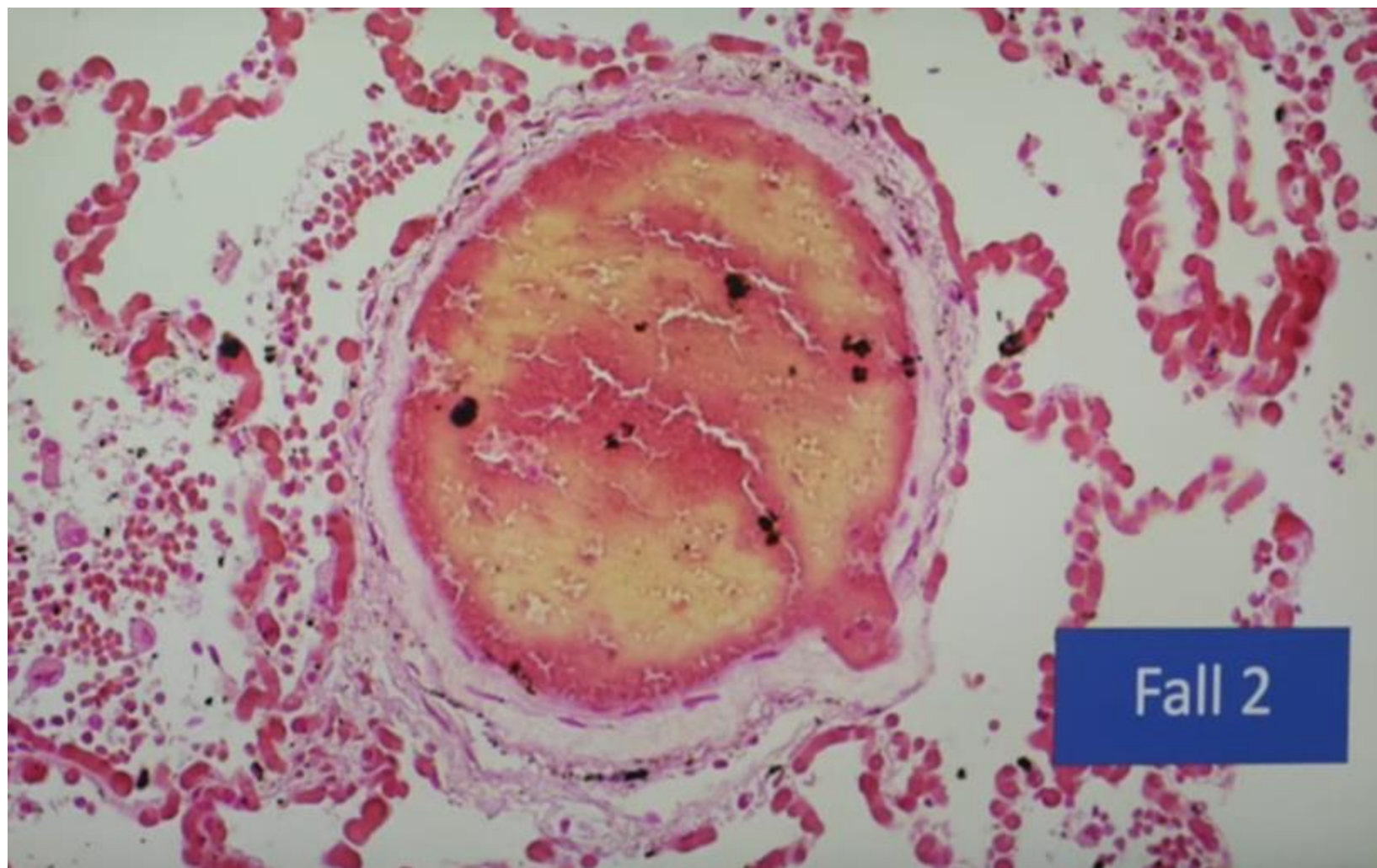




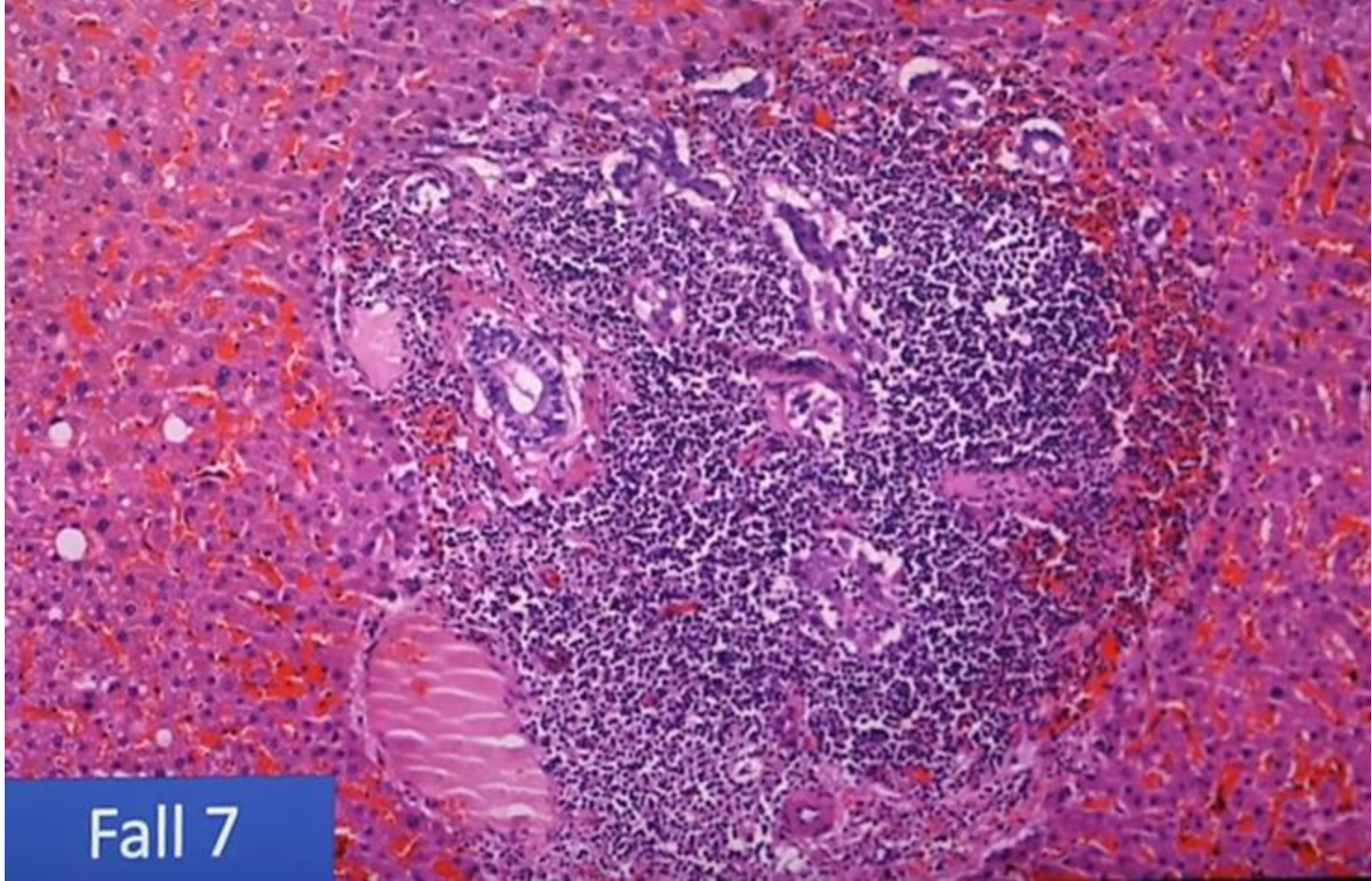
Fall 4

Fall 3

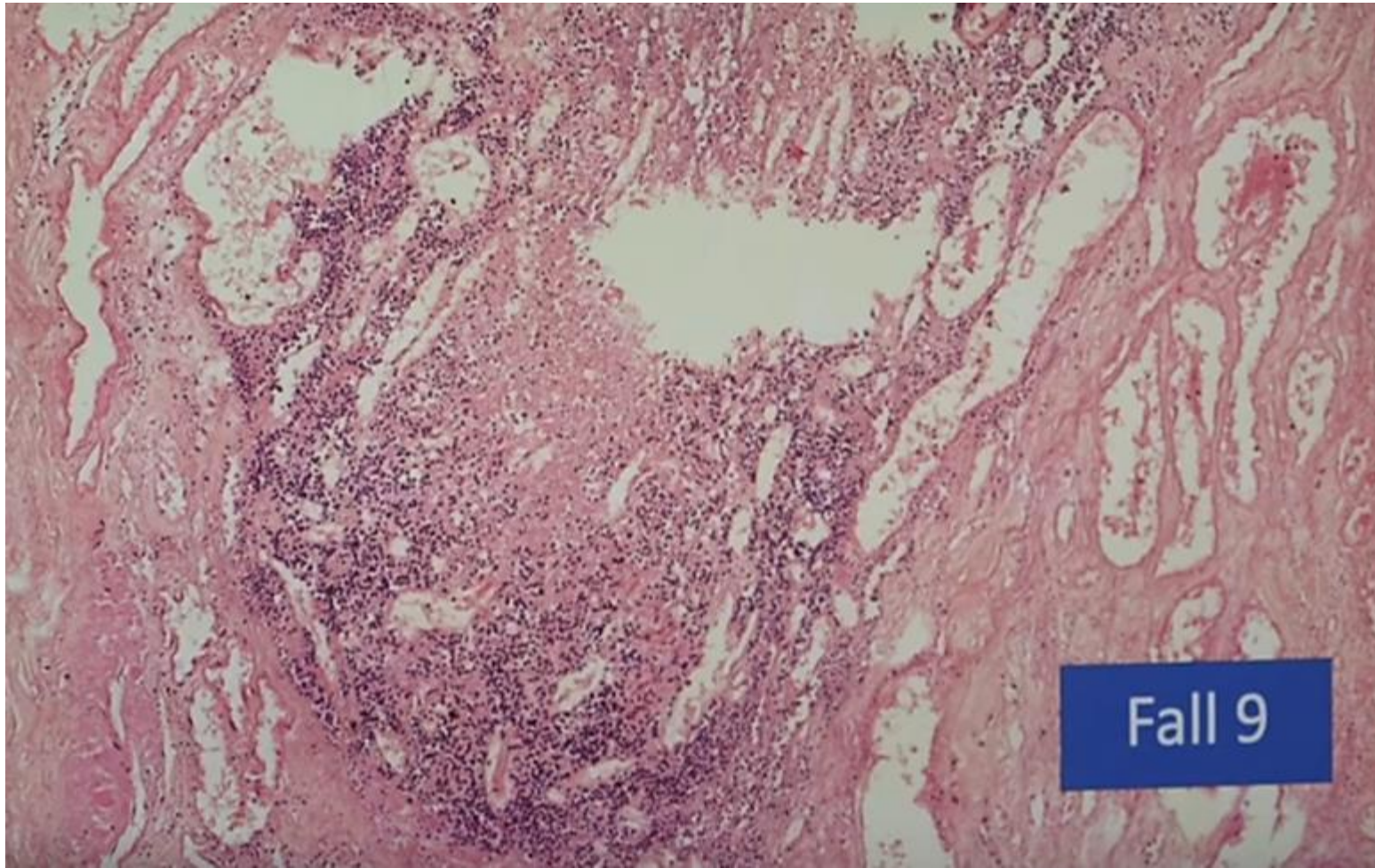




Fall 2

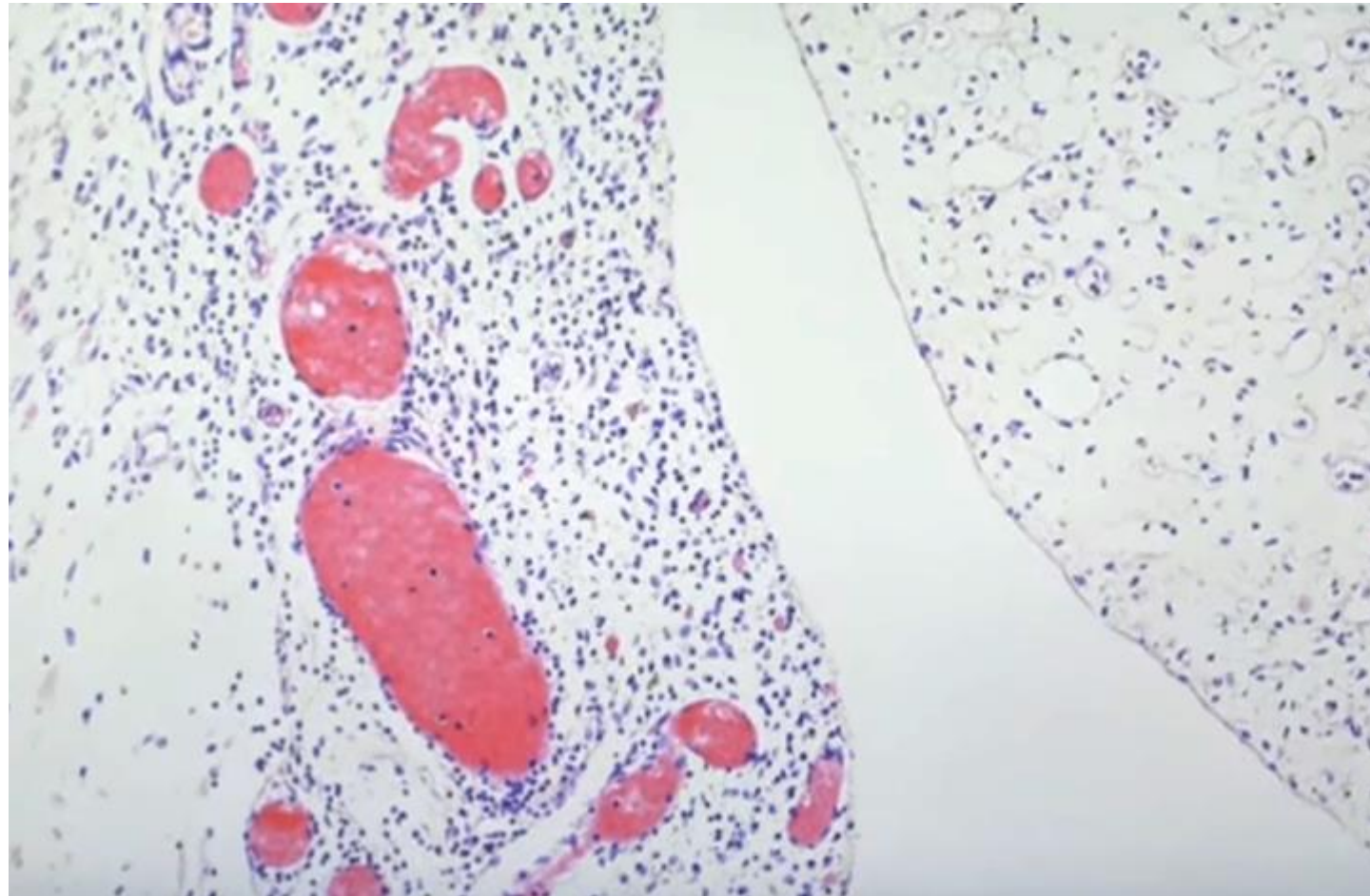


Fall 7

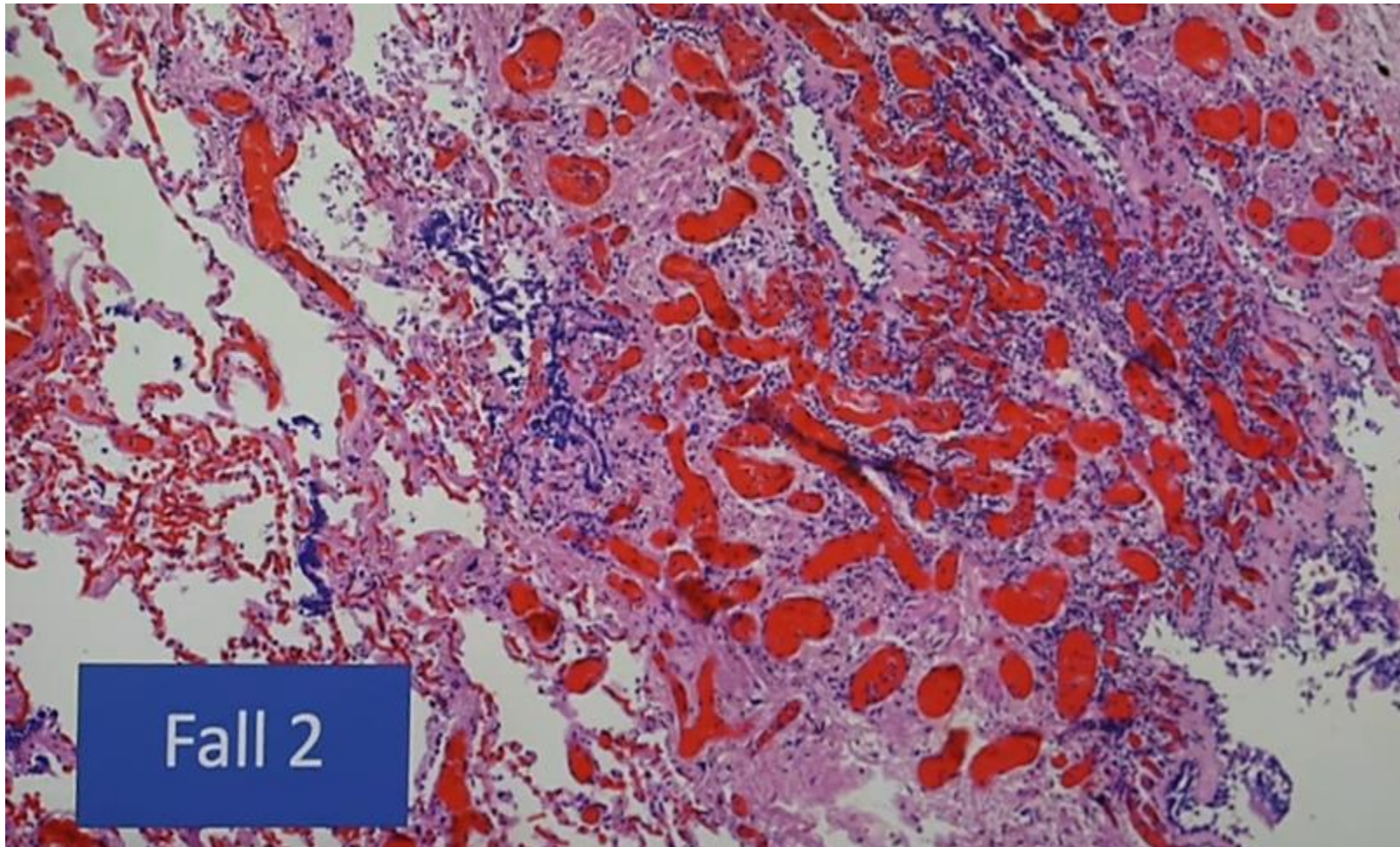


Fall 9

Tissue (epicardium) with lymphocytic infiltration.
Blue dots: lymphocytes. The tissue is inflamed.



Alveolitis with lymphocytic infiltration.
Blue dots: lymphocytes). The tissue is inflamed.



NOVÁ FAKTA O COVIDU

genetické vakcíny

Záněť

NOVÁ FAKTA O COVIDU

genetické vakcíny

Autoimunita

Květen 2023 – Brusel, Evropský parlament

Prof. Dr. Arne Burkhardt

Závažné komplikace a úmrtí po genetických vakcínách



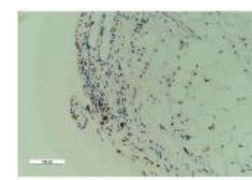
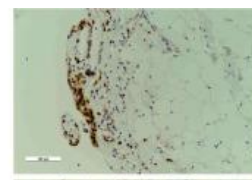
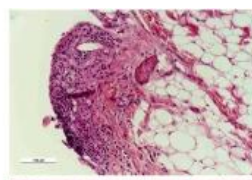
NOVÁ FAKTA O COVIDU

Japonsko

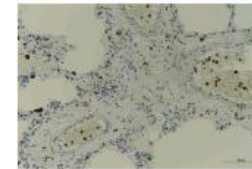
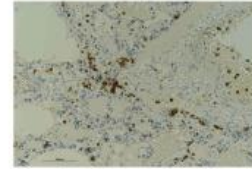
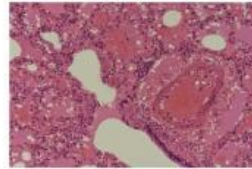
Úmrtí zdravé 14. leté dívky
po 3. dávce mRNA vakcíny.

Nushida H, et al. A case of fatal multi-organ inflammation following COVID-19 vaccination, Legal Medicine, 2023. <https://doi.org/10.1016/j.legalmed.2023.102244>.

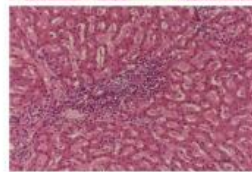
heart



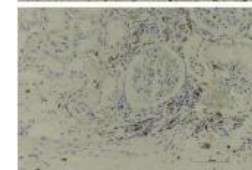
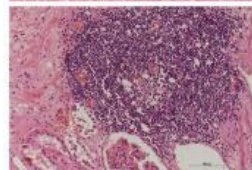
lung



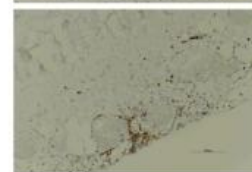
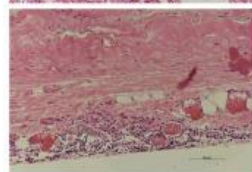
liver



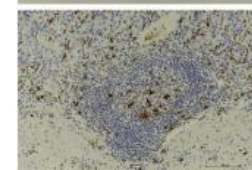
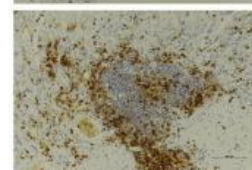
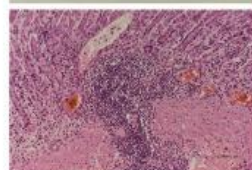
kidney



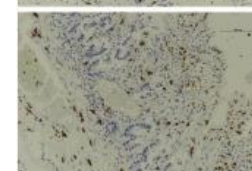
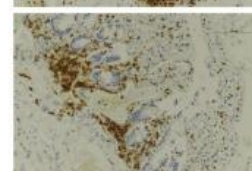
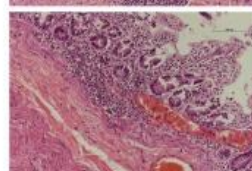
diaphragm



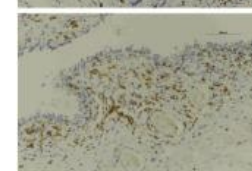
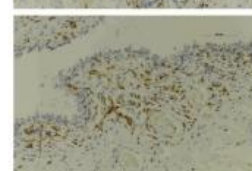
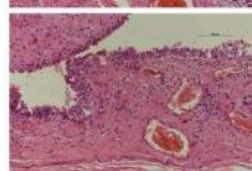
stomach



duodenum



bladder



HE

CD3

CD68

Nushida H, et al. A case of fatal multi-organ inflammation following COVID-19 vaccination, *Legal Medicine*, 2023.

<https://doi.org/10.1016/j.legalmed.2023.102244>.

NOVÁ FAKTA O COVIDU

genetické vakcíny

Proč tomu tak je?

Systemově podaná mRNA vakcína:

Rozsev do těla.



NÚ: Poškození tkání imunitními ději.



Rozvoj autoimunitních poškození.

mRNA vakcína rozsev do těla, data:

Průměrná koncentrace radioaktivity ve tkáních a v krvi po jedné intramuskulární dávce 50 µg mRNA/potkan

| Vzorek | Celková koncentrace lipidů (µg lipidu equiv/g (nebo mL)) | | | | | | |
|------------------------|--|------|-------|-------|-------|-------|-------|
| | 0.25 min | 1 h | 2 h | 4 h | 8 h | 24 h | 48 h |
| Játra | 0.74 | 4.62 | 10.97 | 16.55 | 26.54 | 19.24 | 24.29 |
| Slezina | 0.33 | 2.47 | 7.73 | 10.30 | 22.09 | 20.08 | 23.35 |
| Nadleviny | 0.27 | 1.48 | 2.72 | 2.89 | 6.80 | 13.77 | 18.21 |
| Ovaria | 0.104 | 1.34 | 1.64 | 2.34 | 3.09 | 5.24 | 12.26 |
| Kostní dřeň (femur) | 0.48 | 0.96 | 1.24 | 1.24 | 1.84 | 2.49 | 3.77 |
| Plasma | 3.96 | 8.13 | 8.90 | 6.50 | 2.36 | 1.78 | 0.81 |

Radioactivity in the liver, spleen, adrenal glands, ovaries, bone marrow, small intestine, thyroid, testes, etc.

Mean blood:plasma ratios of 0.5-0.6 indicating nanoparticles mainly present in plasma fraction of blood with peak concentrations in plasma at approx. 2 h post-dose.

Australian Government, TGA Health Safety Regulation, Nonclinical Evaluation of **BNT162b2 [mRNA] COVID-19 vaccine (COMIRNATY)**, Submission No. PM-2020-05461-1-2, **January 2021**

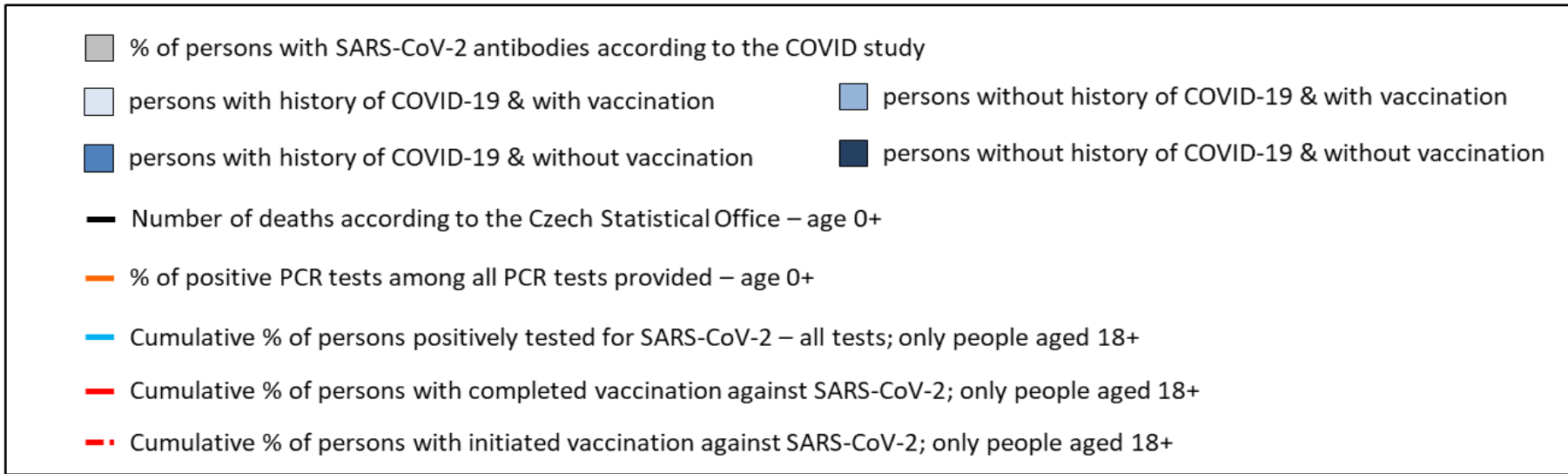
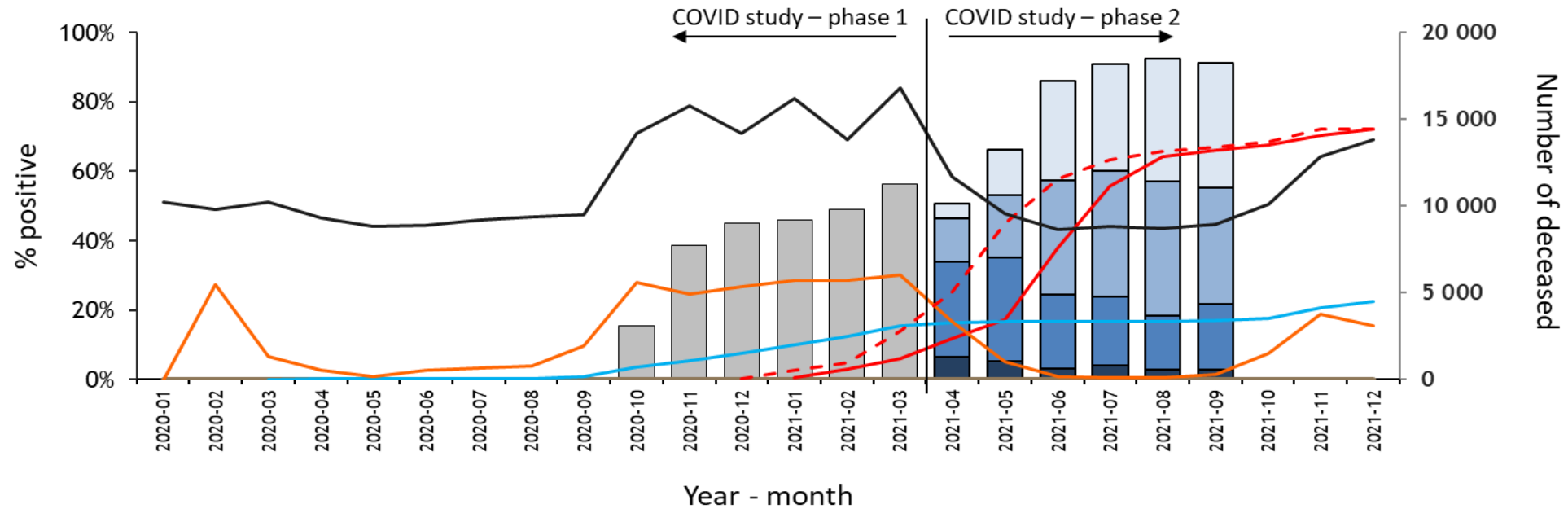
Česká republika:

PROSECO studie - sérokonverze, tzn. protilátky

Česká populace není imunitně naivní.

Protilátky přetrvávají dlouhodobě.

PROSECO studie - Druhá fáze



Thon V, Piler P,
et al.
BMJ Open, 2023

NOVÁ FAKTA O COVIDU

Čas vývoje vakcín:

Genetické vakcíny – 10 měsíců

NOVÁ FAKTA O COVIDU

Čas vývoje vakcín:

Genetické vakcíny – 10 měsíců

Krátký ??

NOVÁ FAKTA O COVIDU

Čas vývoje vakcín:

Genetické vakcíny – 10 měsíců

**Klasické vakcíny – 5 měsíců,
viz pandemie chřipky v letech
1957 a 1968**

NOVÁ FAKTA O COVIDU

Nadúmrtí v populaci!

Protikovidové

vs.

protichřipkové vakcíny.

Nadúmrtí - Excess mortality

| ICD-10 | Cause of death | Average. annual rate 2015- 2019* | 2020 rate* | RR 2020 vs. prepandemic | 2021 rate* | RR 2021 vs. prepandemic | 2022 rate* | RR 2022 vs. prepandemic |
|--------|--|----------------------------------|------------|-------------------------|------------|-------------------------|------------|-------------------------|
| I00-99 | All diseases of the circulatory system | 460 | 479 | 1.04 (1.03-1.06) | 455 | 0.99 (0.98-1.00) | 427 | 0.93 (0.92-0.94) |
| I20-25 | Ischaemic heart diseases | 227 | 218 | 0.96 (0.95-0.98) | 208 | 0.92 (0.90-0.93) | 183 | 0.81 (0.79-0.82) |
| I60-69 | Cerebrovascular diseases | 80 | 71 | 0.89 (0.86-0.92) | 68 | 0.85 (0.82-0.88) | 64 | 0.80 (0.77-0.82) |
| I50 | Heart failure | 46 | 63 | 1.36 (1.31-1.42) | 62 | 1.35 (1.30-1.40) | 67 | 1.46 (1.41-1.51) |
| C00-97 | Malignant neoplasms | 259 | 262 | 1.01 (1.00-1.03) | 257 | 0.99 (0.98-1.01) | 254 | 0.98 (0.97-0.99) |
| J00-99 | Diseases of the respiratory system | 74 | 77 | 1.05 (1.02-1.08) | 74 | 1.00 (0.97-1.03) | 78 | 1.06 (1.03-1.10) |
| J12-18 | Pneumonia | 29 | 35 | 1.21 (1.15-1.27) | 34 | 1.15 (1.10-1.21) | 35 | 1.19 (1.13-1.25) |
| J40-47 | Chronic lower respiratory diseases | 33 | 32 | 0.96 (0.90-0.99) | 31 | 0.93 (0.89-0.97) | 33 | 0.99 (0.94-1.04) |
| K00-93 | Diseases of the digestive system | 45 | 48 | 1.06 (1.02-1.10) | 51 | 1.13 (1.09-1.18) | 50 | 1.11 (1.07-1.16) |
| K70-77 | Diseases of liver | 22 | 23 | 1.08 (1.02-1.14) | 26 | 1.20 (1.14-1.27) | 25 | 1.17 (1.11-1.24) |
| E10-15 | Diabetes mellitus | 37 | 47 | 1.25 (1.20-1.31) | 48 | 1.30 (1.25-1.36) | 45 | 1.20 (1.15-1.25) |
| N00-39 | Diseases of the genitourinary system | 15 | 17 | 1.18 (1.10-1.26) | 19 | 1.32 (1.23-1.41) | 18 | 1.20 (1.12-1.28) |
| G20 | Parkinson disease | 4 | 5 | 1.38 (1.22-1.57) | 6 | 1.49 (1.31-1.69) | 5 | 1.46 (1.29-1.66) |
| G30-32 | Other neurodegenerative diseases | 18 | 25 | 1.35 (1.27-1.43) | 22 | 1.21 (1.14-1.28) | 24 | 1.32 (1.24-1.40) |
| X60-84 | Intentional self-harm | 13 | 11 | 0.91 (0.85-0.99) | 12 | 0.93 (0.86-1.00) | 12 | 0.96 (0.89-1.04) |

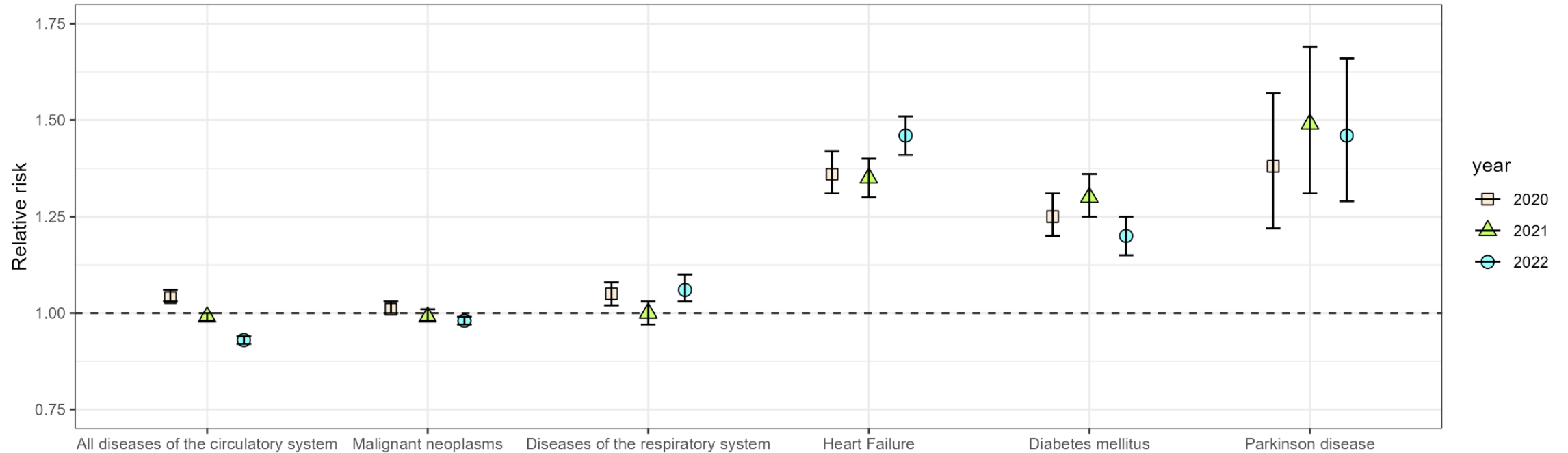
Mortality rates (per 100,000) and excess mortality due to specific causes of death (Czech Republic)

| ICD-10 | Cause of death | Average. annual rate 2015- 2019* | 2020 rate* | RR 2020 vs. prepandemic | 2021 rate* | RR 2021 vs. prepandemic | 2022 rate* | RR 2022 vs. prepandemic |
|--------|--|----------------------------------|------------|-------------------------|------------|-------------------------|------------|-------------------------|
| I00-99 | All diseases of the circulatory system | 460 | 479 | 1.04 (1.03-1.06) | 455 | 0.99 (0.98-1.00) | 427 | 0.93 (0.92-0.94) |
| I20-25 | Ischaemic heart diseases | 227 | 218 | 0.96 (0.95-0.98) | 208 | 0.92 (0.90-0.93) | 183 | 0.81 (0.79-0.82) |
| I60-69 | Cerebrovascular diseases | 80 | 71 | 0.89 (0.86-0.92) | 68 | 0.85 (0.82-0.88) | 64 | 0.80 (0.77-0.82) |
| I50 | Heart failure | 46 | 63 | 1.36 (1.31-1.42) | 62 | 1.35 (1.30-1.40) | 67 | 1.46 (1.41-1.51) |
| C00-97 | Malignant neoplasms | 259 | 262 | 1.01 (1.00-1.03) | 257 | 0.99 (0.98-1.01) | 254 | 0.98 (0.97-0.99) |
| J00-99 | Diseases of the respiratory system | 74 | 77 | 1.05 (1.02-1.08) | 74 | 1.00 (0.97-1.03) | 78 | 1.06 (1.03-1.10) |
| J12-18 | Pneumonia | 29 | 35 | 1.21 (1.15-1.27) | 34 | 1.15 (1.10-1.21) | 35 | 1.19 (1.13-1.25) |
| J40-47 | Chronic lower respiratory diseases | 33 | 32 | 0.96 (0.90-0.99) | 31 | 0.93 (0.89-0.97) | 33 | 0.99 (0.94-1.04) |
| K00-93 | Diseases of the digestive system | 45 | 48 | 1.06 (1.02-1.10) | 51 | 1.13 (1.09-1.18) | 50 | 1.11 (1.07-1.16) |
| K70-77 | Diseases of liver | 22 | 23 | 1.08 (1.02-1.14) | 26 | 1.20 (1.14-1.27) | 25 | 1.17 (1.11-1.24) |
| E10-15 | Diabetes mellitus | 37 | 47 | 1.25 (1.20-1.31) | 48 | 1.30 (1.25-1.36) | 45 | 1.20 (1.15-1.25) |
| N00-39 | Diseases of the genitourinary system | 15 | 17 | 1.18 (1.10-1.26) | 19 | 1.32 (1.23-1.41) | 18 | 1.20 (1.12-1.28) |
| G20 | Parkinson disease | 4 | 5 | 1.38 (1.22-1.57) | 6 | 1.49 (1.31-1.69) | 5 | 1.46 (1.29-1.66) |
| G30-32 | Other neurodegenerative diseases | 18 | 25 | 1.35 (1.27-1.43) | 22 | 1.21 (1.14-1.28) | 24 | 1.32 (1.24-1.40) |
| X60-84 | Intentional self-harm | 13 | 11 | 0.91 (0.85-0.99) | 12 | 0.93 (0.86-1.00) | 12 | 0.96 (0.89-1.04) |

*Rate per 100,000 persons

Piler P, Thon V, et al. 2024

The risks of excess mortality due to specific causes of death (Czech Republic)



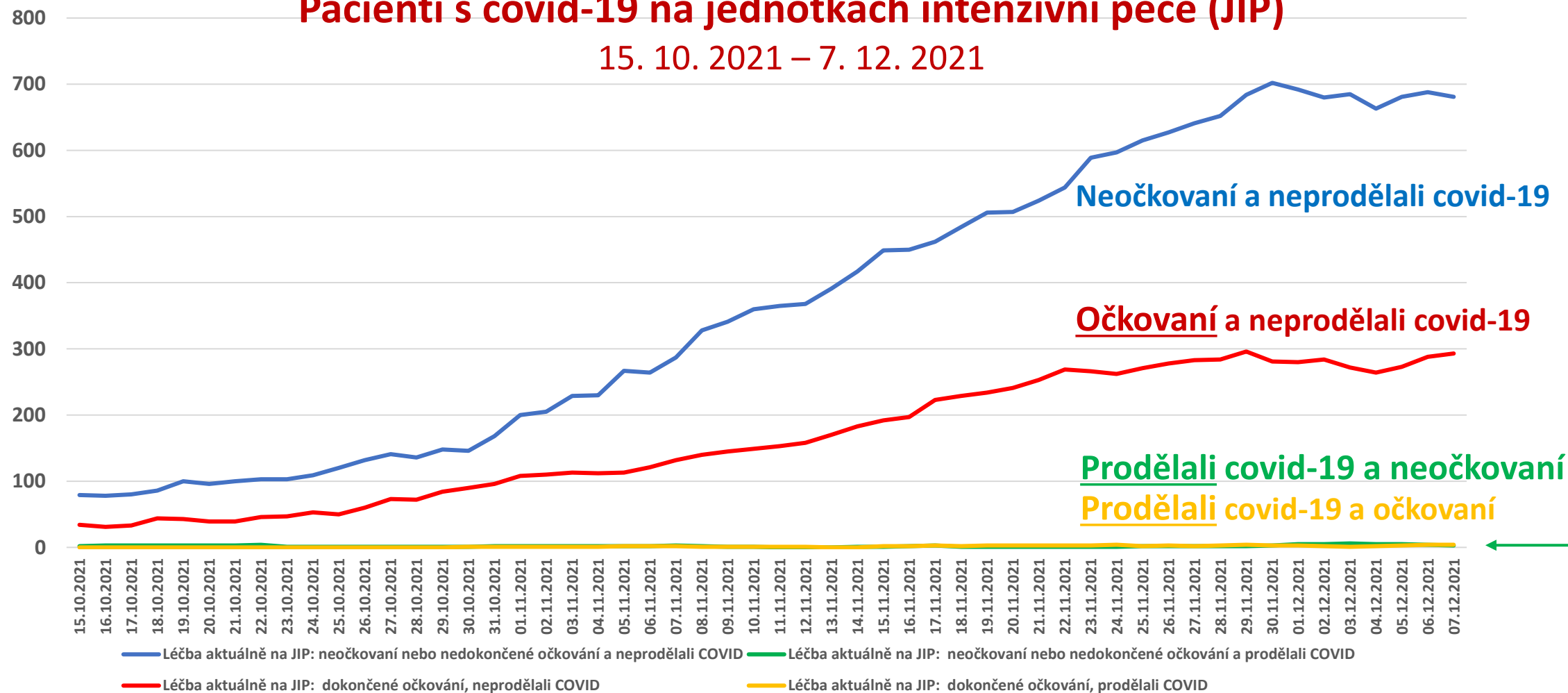
Chrání slizniční imunita, ne vakcína.

Česká republika, celá populace 10,5 miliónů

Slizniční imunitní ochrana

Pacienti s covid-19 na jednotkách intenzivní péče (JIP)

15. 10. 2021 – 7. 12. 2021



Význam:

Chrání slizniční imunita, ne vakcína.

**Vakcína je určena dospělým – tj. rizikovým,
tzn. po reprodukčním věku.**

**NÚ: Nemáme přehled ani kontrolu o dávce,
tzn. přepisu množství proteinu z mRNA
u konkrétního očkování.**

Vakcína nevyvolává sterilizační imunitu na sliznicích.

Covid-19: Opomenutá avšak nezastupitelná úloha slizniční imunity a včasné léčby.

ČR: Vojtěch Thon – slizniční imunita, včasná léčba, PROSECO studie, protilátky - marker infekce, endotelová a mitochondriální dysfunkce, přenos, správná prevence, kritéria epidemie

Spojené státy: Michael W. Russell, Jiří Městecký – slizniční imunita, přenos, správná prevence

Austrálie: Robert Clancy – slizniční imunita, včasná léčba, přenos, správná prevence

NOVÁ FAKTA O COVIDU

V případě podávání častých opakovaných dávek vakcín dochází k regulaci imunitní odpovědi.

Rozvoj tolerance
z důvodu suprese (Treg)!!!

NOVÁ FAKTA O COVIDU

genetické vakcíny

Co s tím?

Jaký je správný postup?

Prevence správný postup:

- Neinvazivní slizniční perorální imunobiotikum.
- Léčba – komplexní, zavčas, lokální a celková, v ruce lékaře.

Léčba

- **Nezanedbat včasnou přednemocniční lékařskou péči.**
- **Prevence postinfekčního/postvakcinačního syndromu.**

Léčba !!!

- **Nezanedbat včasnou přednemocniční lékařskou péči.**
- **Imunolog – zavčas, komplexní podpůrná léčba, imunoregulační, např. montelukast a další (lokální kortikoid; dexamethason; antikoagulancia – perorálně NOAC)**
- **Lokální léčba (kloktat, např. jódovaný povidon /v praxi Jox kloktadlo/)**
- **Celková protivirová léčba**

Závěry

1) V patofyziologii respirační infekce SARS-CoV-2 virem je vstupní branou infekce sliznice, kterou chrání imunitní obrana slizničního imunitního systému.

Zapamatujme si a nezaměňujme:

2) Chrání slizniční imunita!!!

Bez jejího nastolení k účinné ochraně nedojde.

Parenterální podání vakcín je u SARS-CoV-2 infekce pouze pomocné. Pozor na nežádoucí účinky a rozvoj tolerance (suprese Treg).

3) Tzn. nepodávat mRNA vakcíny opakovaně nadbytečně.

**Vede k oslabení imunitní odpovědi
tolerancí
vůči další infekci
(regulace, tj. suprese Treg).**

3) Nepodávat mRNA vakcíny opakovaně nadbytečně.

Navíc nemáme kontrolu ani o prepisu množství proteinu z mRNA u konkrétního očkovaného.

Dochází k rozsevu genetické vakcíny do orgánů a rozvoji zánětlivé reakce.

4) Slizniční imunita – translace do klinické lékařské praxe:

Provést slizniční vakcinaci imunobiotikem

Neinvazivní specifická perorální antigenní stimulace GALT imunobiotikem vede buněčnou aktivací v Peyeroých placích k antibakteriální a také k nespecifické antivirové efektorové imunitní odpovědi v BALT.

5) Důležité působit preventivně i léčebně. Nezbytná je včasná léčba lékařem, celková i lokální (např. montelukast tbl, jódovaný povidon kloktadlo, N-acetylcysteín).

Celková protivirová léčba.

6) Nádory, které jsou metabolickým onemocněním, se stávají nejnáze preventabilní v rámci civilizačních chorob.

Metabolická léčba.



Děkuji za pozornost.



Regulace

(slizniční bariéry)



Sterilita

(vnitřní orgány)